



---

# Строение и свойства комплексных соединений

*Неорганическая химия, 1 курс, 2024/2025*

# Строение комплексов $d$ -металлов

1. Не определяется правилами Гиллеспи
2. В первом приближении основано на донорно-акцепторном взаимодействии металл—лиганд
3. Учитывает степень окисления и электронную конфигурацию центрального атома, включая особенности распределения  $d$ -электронов

# Строение комплексов *d*-металлов

Три подхода к описанию строения комплексов *d*-металлов

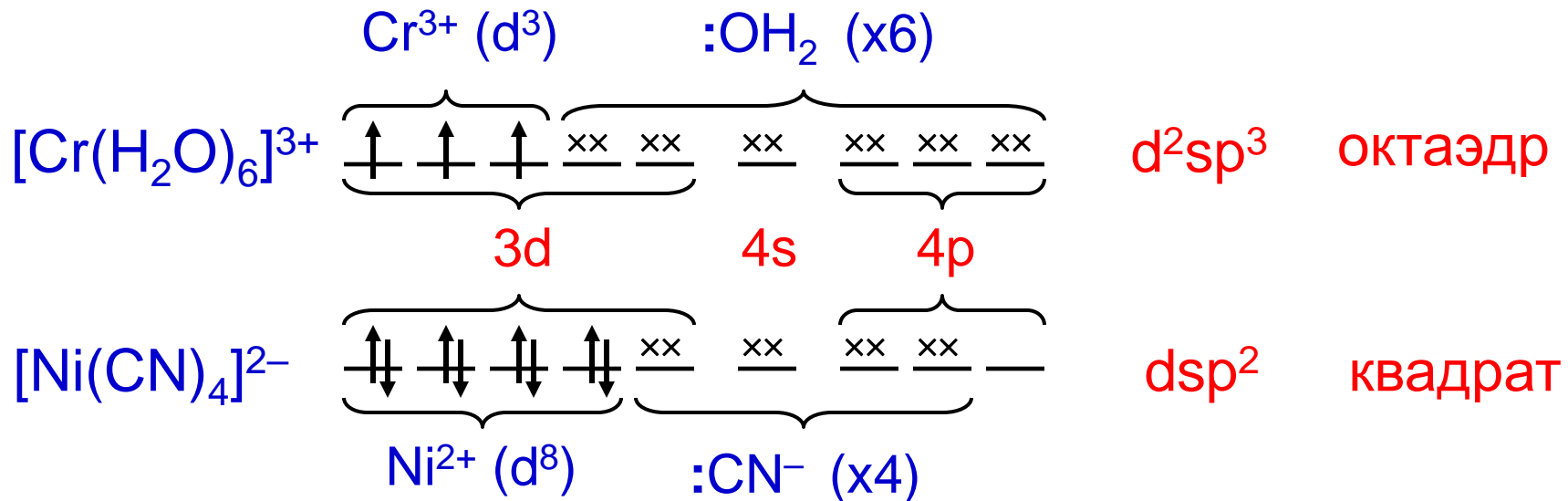
1. Метод валентных связей (**МВС**)
2. Теория кристаллического поля (**ТКП**)
3. Метод молекулярных орбиталей (**ММО**)

# Основы МВС для комплексов

Донорно-акцепторное взаимодействие между

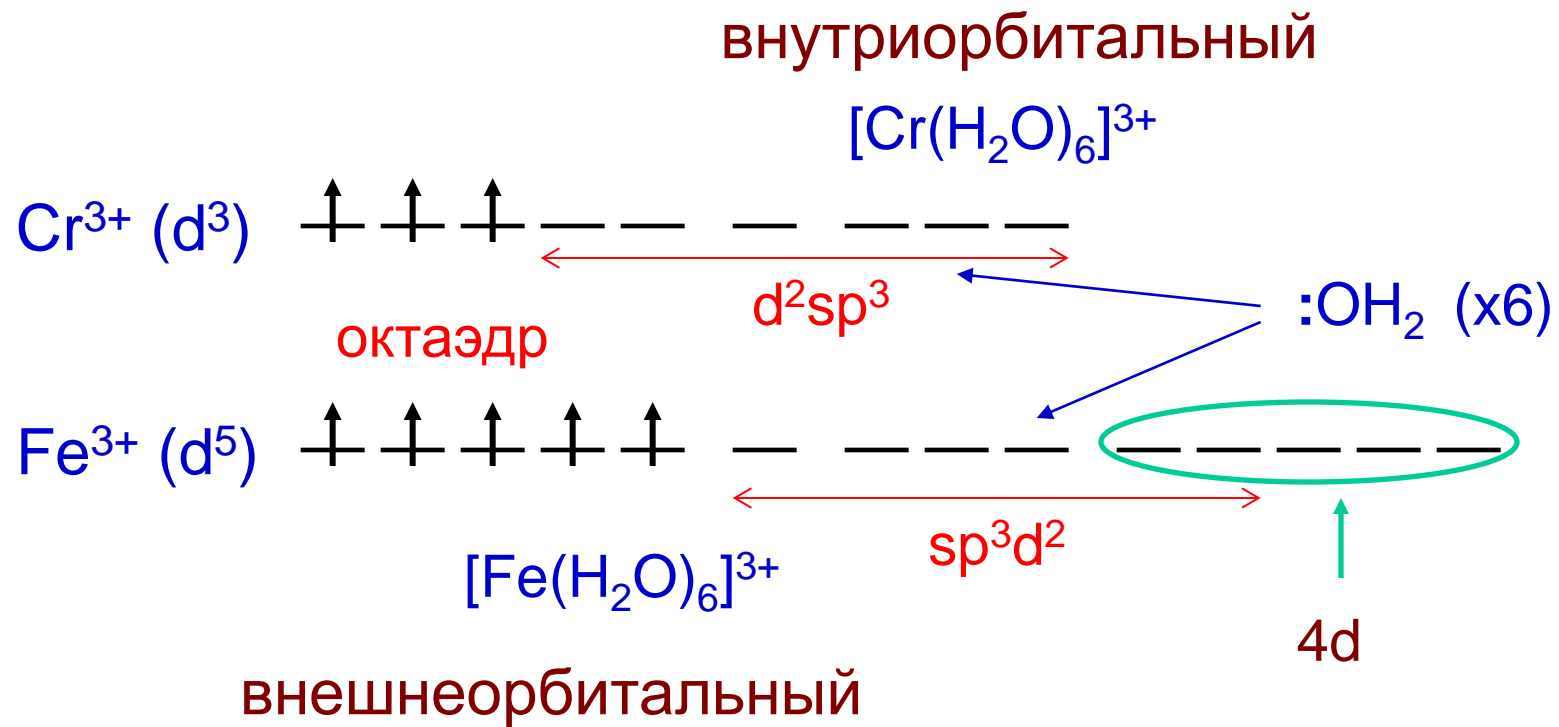
- центральным атомом (акцептор)
- лигандами (доноры)

- 1) Все связи  $2c-2e^-$
- 2) Принимается гибридизация орбиталей d-металла



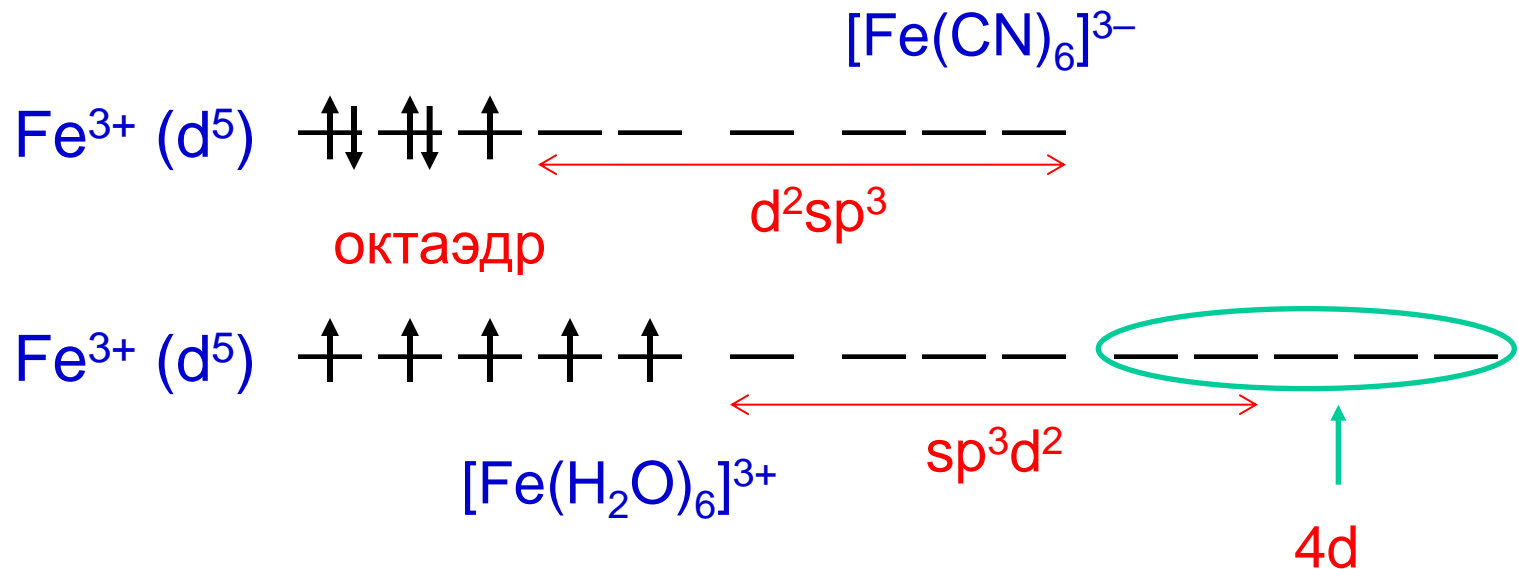
# Основы МВС для комплексов

По уровню участвующих в гибридизации  
орбиталей различают комплексы  
внешнеорбитальные и внутриорбитальные



# Основы МВС для комплексов

Внутриорбитальный = низкоспиновый = ковалентный

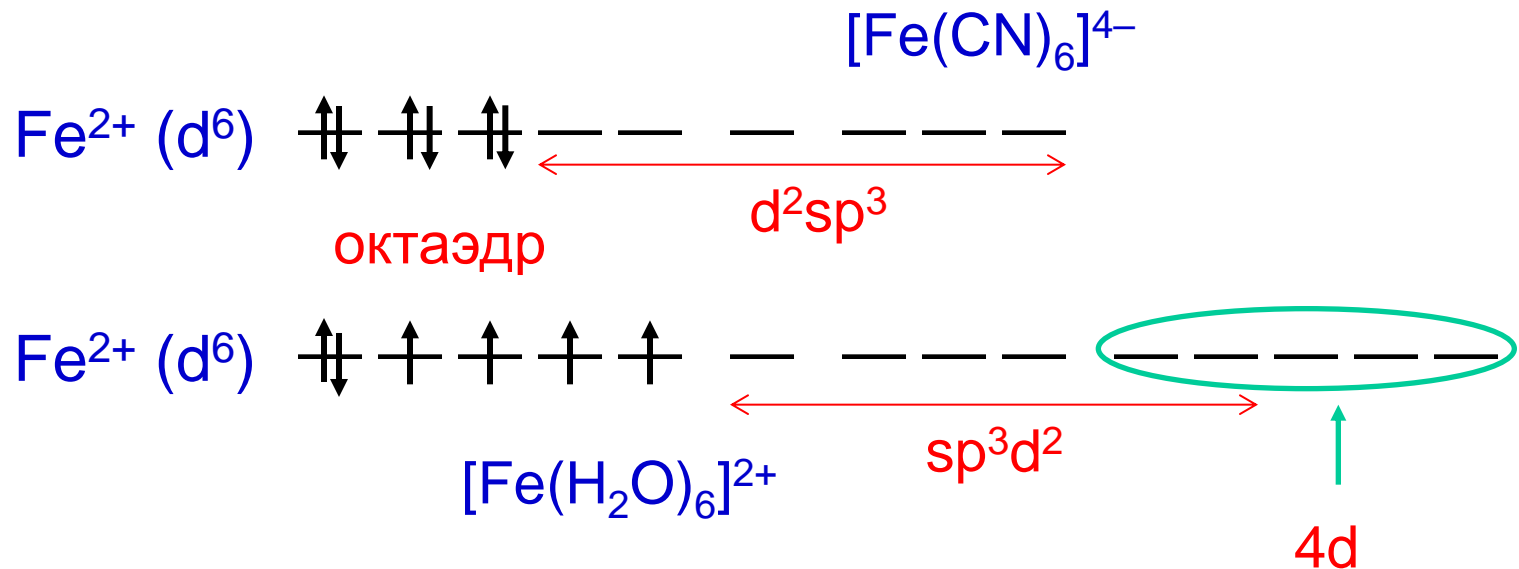


Внешнеорбитальный = высокоспиновый = ионный

Но: слишком велико различие в энергии  $3\text{d}$  и  $4\text{d}$  орбиталей !

# Основы МВС для комплексов

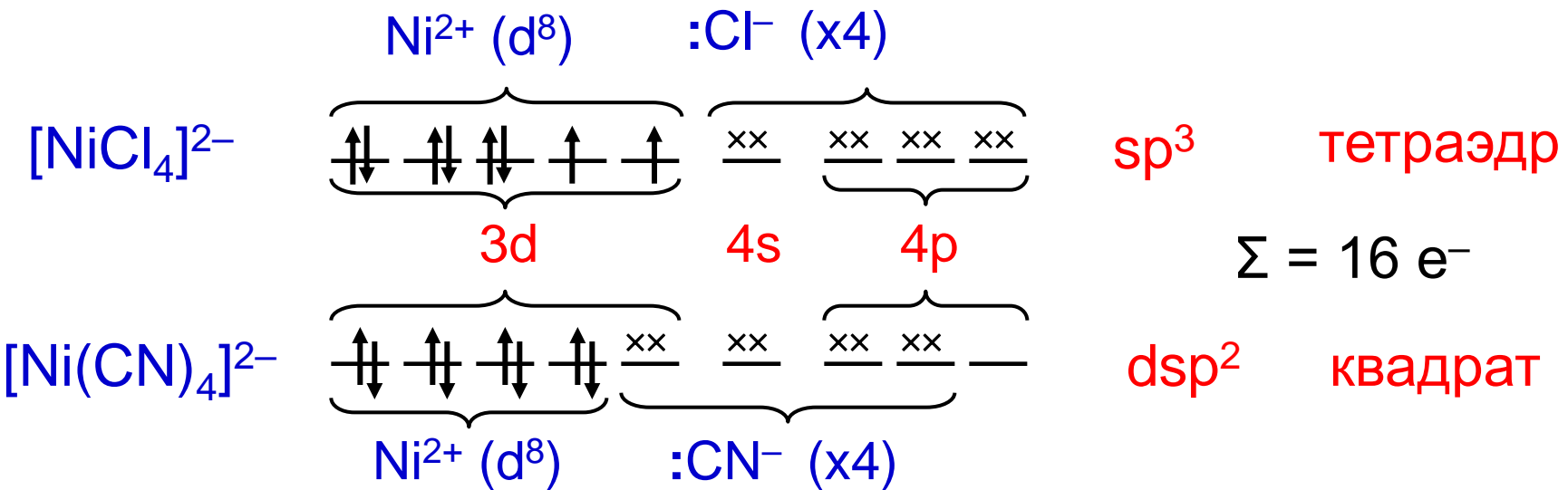
Внутриорбитальный = низкоспиновый = ковалентный



Внешнеорбитальный = высокоспиновый = ионный

Но: **внешние** d-орбитали лежат слишком высоко по энергии !

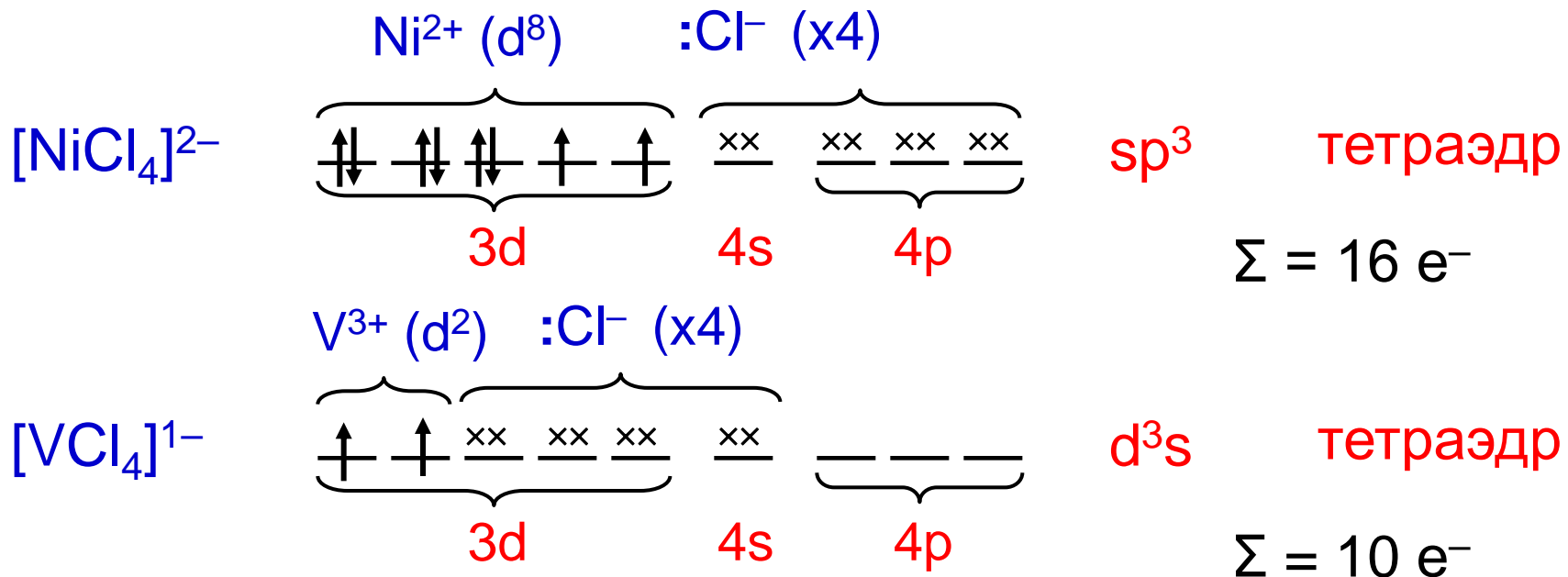
# Основы МВС для комплексов



Комpleксы внутриорбитальные, одинаковая электронность

Почему различна гибридизация?

# Основы МВС для комплексов



Разная гибридизация, разная электронность

Однаковая геометрия

# Гибридизация в МВС

К.Ч.	Гибридизация	Геометрия	Примеры
2	$sp$ или $d^2s$	Гантель	$[\text{Ag}(\text{NH}_3)_2]^{1+}$
3	$sp^2$ , $d^2s$ или $d^3$	Треугольник	$[\text{HgCl}_3]^{1-}$
4	$sp^3$ или $d^3s$	Тетраэдр	$[\text{VCl}_4]^{1-}$ , $[\text{FeCl}_4]^{1-}$
4	$dsp^2$	Квадрат	$[\text{Ni}(\text{CN})_4]^{2-}$
5	$sp^3d$ или $dsp^3$	Тригональная бипирамида	$[\text{CuCl}_5]^{3-}$
5	$d^2sp^2$ или $d^4s$	Квадратная пирамида	$[\text{Mn}(\text{CN})_5]^{3-}$
6	$sp^3d^2$ или $d^2sp^3$	Октаэдр	$[\text{Fe}(\text{H}_2\text{O})_6]^{3+}$ , $[\text{Cr}(\text{H}_2\text{O})_6]^{3+}$

# Ограничения МВС

МВС – очень наглядный метод, объясняет  
геометрическое строение известных комплексов

Но:

1. Не имеет предсказательной силы
2. Не объясняет окраску комплексов
3. Описывает магнитные свойства комплексов только в простейших случаях
4. Не объясняет причину различной устойчивости комплексов
5. Не имеет энергетических параметров

# Общие положения ТКП

ТКП – теория кристаллического поля (Бете, 1929)

1. Рассматриваются соединения, состоящие из катиона переходного металла и лигандов, связанных электростатическим взаимодействием
2. Лигандаы рассматриваются как точечные заряды, являющиеся источником электростатического поля
3. Взаимодействие центрального атома с лигандами рассматривается с учетом всех особенностей  $d$ -орбиталей центрального атома и распределения электронов на них

# Общие положения ТКП

ТКП – теория кристаллического поля (Бете, 1929)

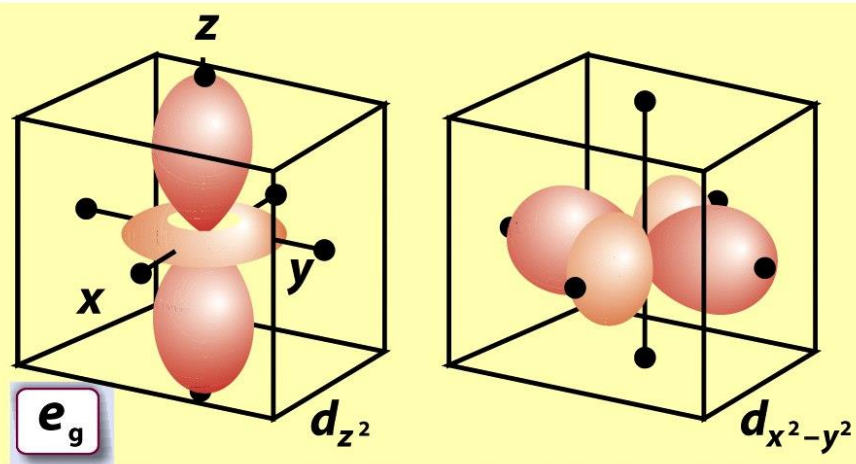
1. Рассматривали ионную ячейку состоящую из катиона центра и лигандов, связанных с ним, в результате взаимодействия с зарядами, имеющими остатического поля.
2. Лиганды расположены в окрестности катиона центра, являющиеся атомами с отрицательными зарядами, имеющими остатического поля.
3. Взаимодействие между катионом и лигандами можно описать, если учесть, что атом с зарядом  $q$  взаимодействует с атомом всех лигандов, находящихся в окрестности центрального атома и имеющих заряд  $-q$ .

Ханс Альбрехт Бёте

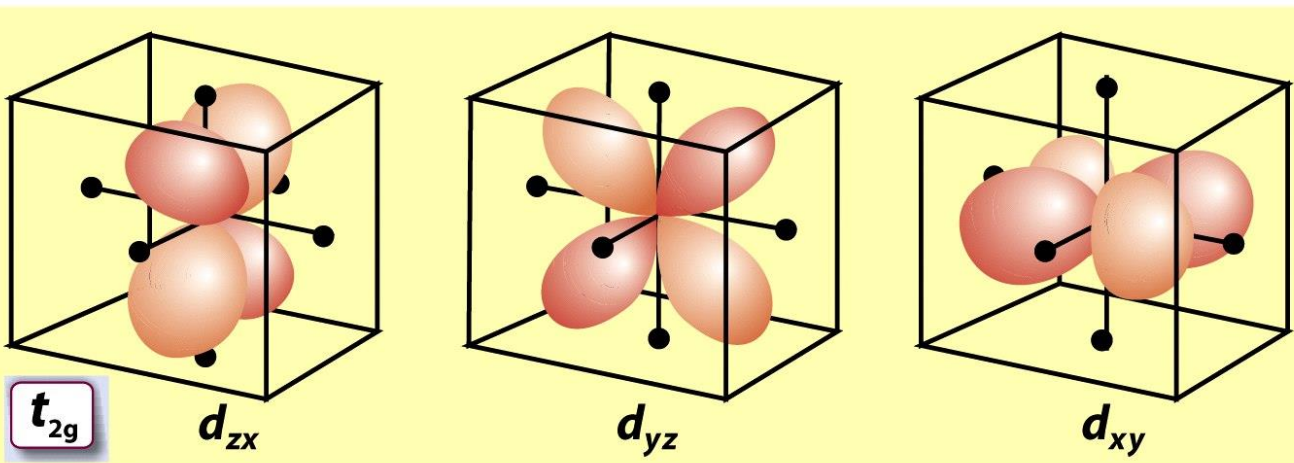
1906-2005



# Октаэдрическое поле



Орбитали  
направлены к  
лигандам



Орбитали не  
направлены  
к лигандам

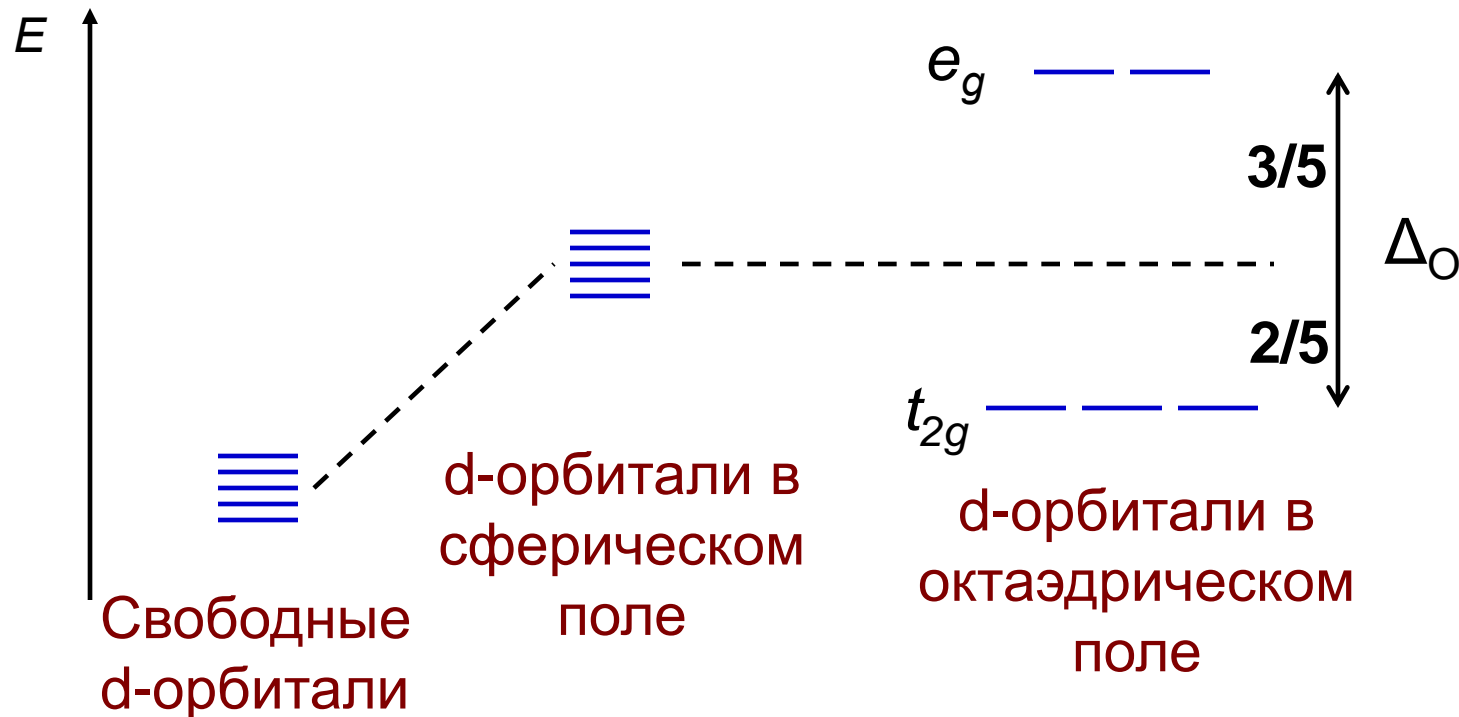
Figure 19-1

Shriver & Atkins Inorganic Chemistry, Fourth Edition

© 2006 by D. F. Shriver, P. W. Atkins, T. L. Overton, J. P. Rourke, M. T. Weller, and F. A. Armstrong

# Октаэдрическое поле

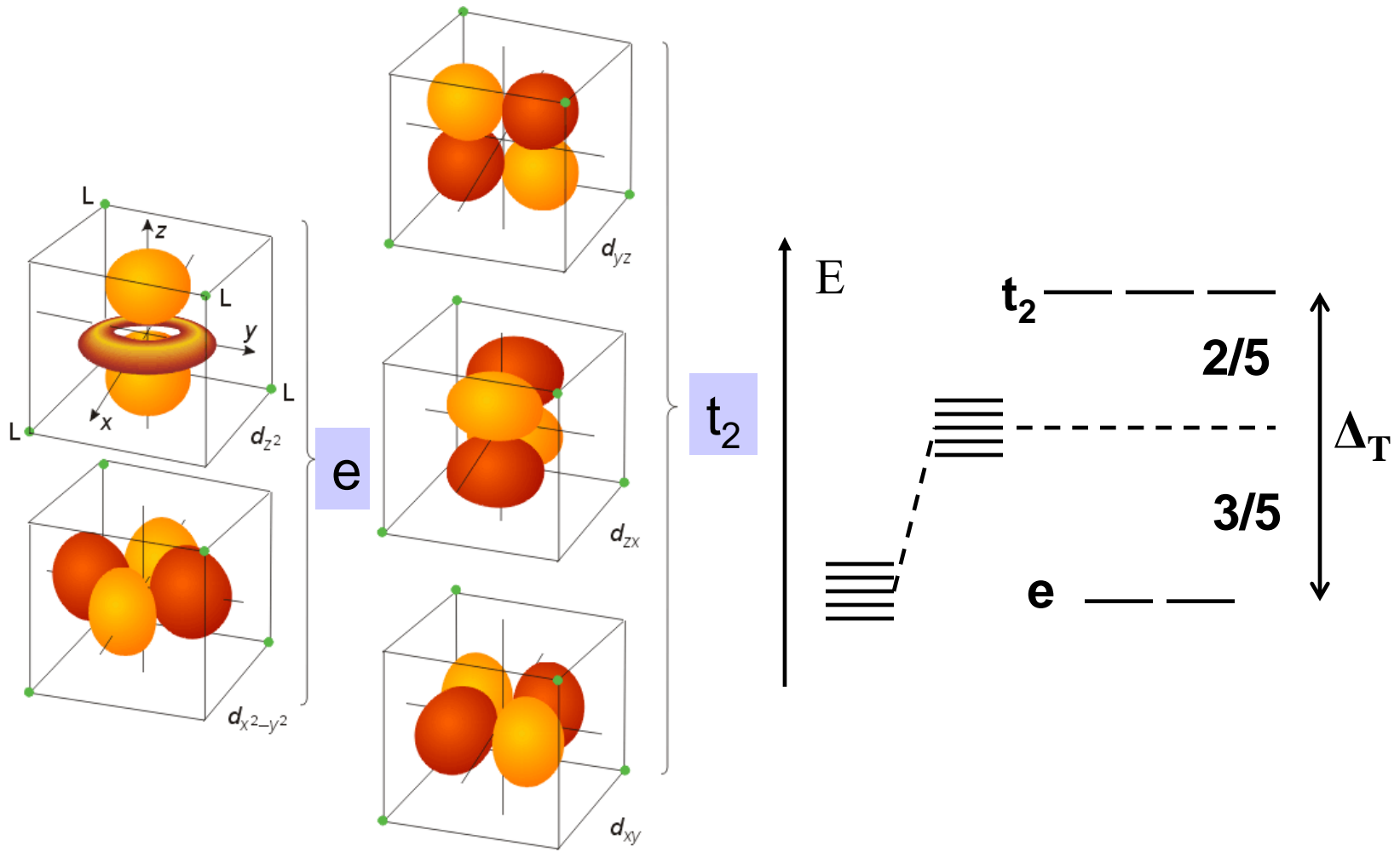
В свободном состоянии и в сферическом поле все d-орбитали вырождены, в октаэдрическом поле они расщеплены на два набора вырожденных орбиталей –  $t_{2g}$  и  $e_g$



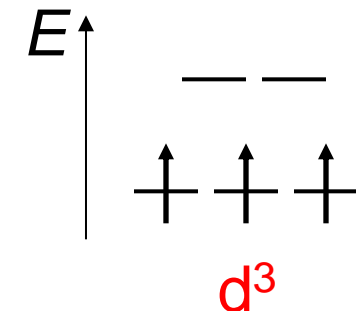
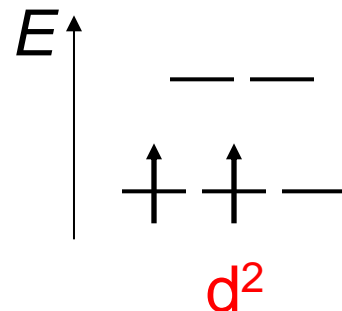
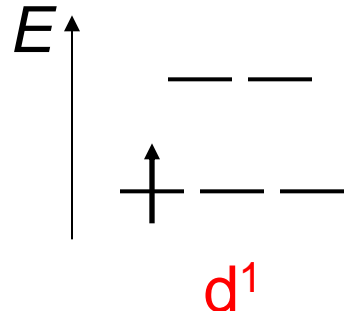
Суммарная энергия орбиталей при расщеплении не меняется

$$E(e_g) - E(t_{2g}) = \Delta_O \quad \leftarrow \quad \text{энергия расщепления}$$

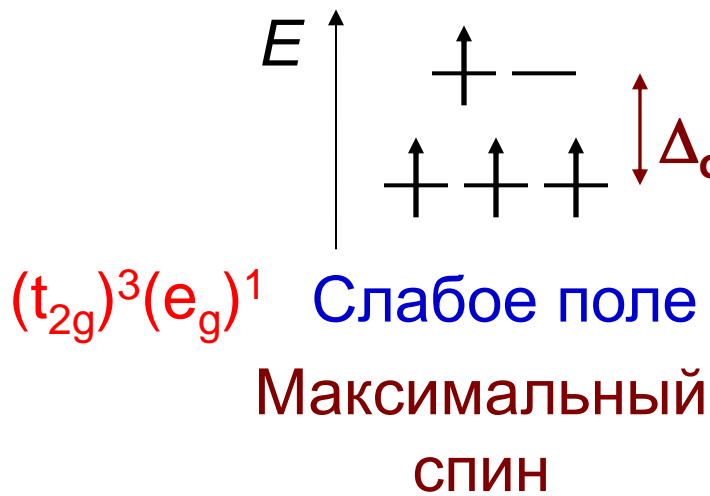
# Тетраэдрическое поле



# Сильное и слабое поле



1. Стремление к максимальному спину
2. Стремление к минимуму орбитальной энергии



# ЭСКП

ЭСКП  
энергия стабилизации кристаллическим полем

В октаэдре: ЭСКП =  $[2/5 n(t_{2g}) - 3/5 n(e_g)]\Delta_O - P$

Энергия: Дж/моль, эВ, К, см<sup>-1</sup>, ...

$\Delta_O$  – энергия расщепления октаэдрическим полем

$P$  – энергия спаривания электронов

# ЭСКП

$\Delta_O > P$  сильное поле

$\Delta_O < P$  слабое поле

Для конфигурации  $d^4$  в октаэдрическом поле:

$(t_{2g})^3(e_g)^1$  ЭСКП =  $(2/5 \cdot 3 - 3/5 \cdot 1)\Delta_O = 3/5\Delta_O$

$(t_{2g})^4$  ЭСКП =  $(2/5 \cdot 4 - 0)\Delta_O - P = 8/5\Delta_O - P$

---

В тетраэдре: ЭСКП =  $[3/5 n(e) - 2/5 n(t_2)]\Delta_T - P$

# Величины ЭСКП в октаэдре

$d^1$	$t_{2g}^1$	$2/5\Delta_O$
$d^2$	$t_{2g}^2$	$4/5\Delta_O$
$d^3$	$t_{2g}^3$	$6/5\Delta_O$
$d^4$	$t_{2g}^4$	$8/5\Delta_O - P$
		$t_{2g}^3 e_g^1$
		$3/5\Delta_O$
$d^5$	$t_{2g}^5$	$10/5\Delta_O - 2P$
		$t_{2g}^3 e_g^2$
		0
$d^6$	$t_{2g}^6$	$12/5\Delta_O - 2P$
		$t_{2g}^4 e_g^2$
		$2/5\Delta_O$
$d^7$	$t_{2g}^6 e_g^1$	$9/5\Delta_O - P$
		$t_{2g}^5 e_g^2$
		$4/5\Delta_O$
$d^8$	$t_{2g}^6 e_g^2$	$6/5\Delta_O$
$d^9$	$t_{2g}^6 e_g^3$	$3/5\Delta_O$
$d^{10}$	$t_{2g}^6 e_g^4$	0

# Спектрохимический ряд лигандов

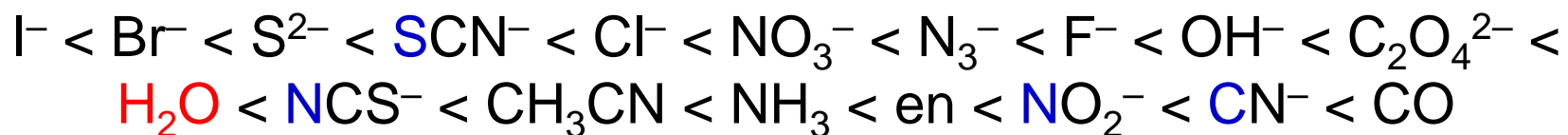
$\Delta_O$  зависит от:

природы и заряда центрального атома, природы и числа лигандов: спектрохимический ряд!

$$\Delta_T = 4/9 \Delta_O$$

P зависит от:

природы и заряда центрального атома



Левее  $\text{H}_2\text{O}$  – лиганды слабого поля

Правее  $\text{H}_2\text{O}$  – лиганды сильного поля

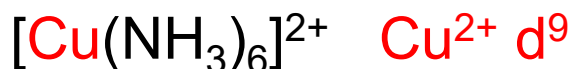
} для 3d металлов !!!

$[\text{MnF}_6]^{3-}$  (d<sup>4</sup>) высокоспиновый комплекс  $(t_{2g})^3(e_g)^1$

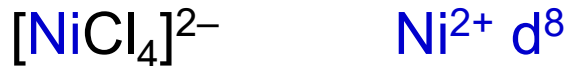
$[\text{Mn(CN)}_6]^{3-}$  (d<sup>4</sup>) низкоспиновый комплекс  $(t_{2g})^4$

# Энергия предпочтения

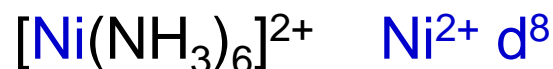
[Cu(NH<sub>3</sub>)<sub>6</sub>][NiCl<sub>4</sub>] или [Ni(NH<sub>3</sub>)<sub>6</sub>][CuCl<sub>4</sub>] ?



$$\text{ЭСКП} = 3/5 \Delta_O$$



$$\text{ЭСКП} = 4/5 \Delta_T$$



$$\text{ЭСКП} = 6/5 \Delta_O$$



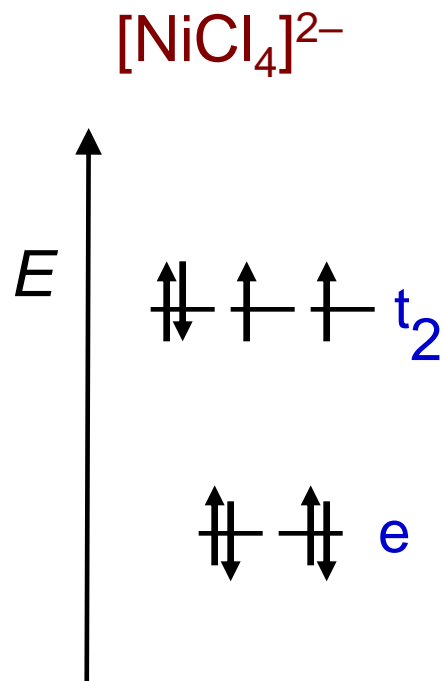
$$\text{ЭСКП} = 2/5 \Delta_T$$

$$\begin{aligned}\Delta E(\text{Cu}^{2+}) &= 3/5 \Delta_O - 2/5 \Delta_T = \\ (3/5 - 2/5 \cdot 4/9) \Delta_O &= \mathbf{19/45 \Delta_O}\end{aligned}$$

$$\begin{aligned}\Delta E(\text{Ni}^{2+}) &= 6/5 \Delta_O - 4/5 \Delta_T = \\ (6/5 - 4/5 \cdot 4/9) \Delta_O &= \mathbf{38/45 \Delta_O}\end{aligned}$$

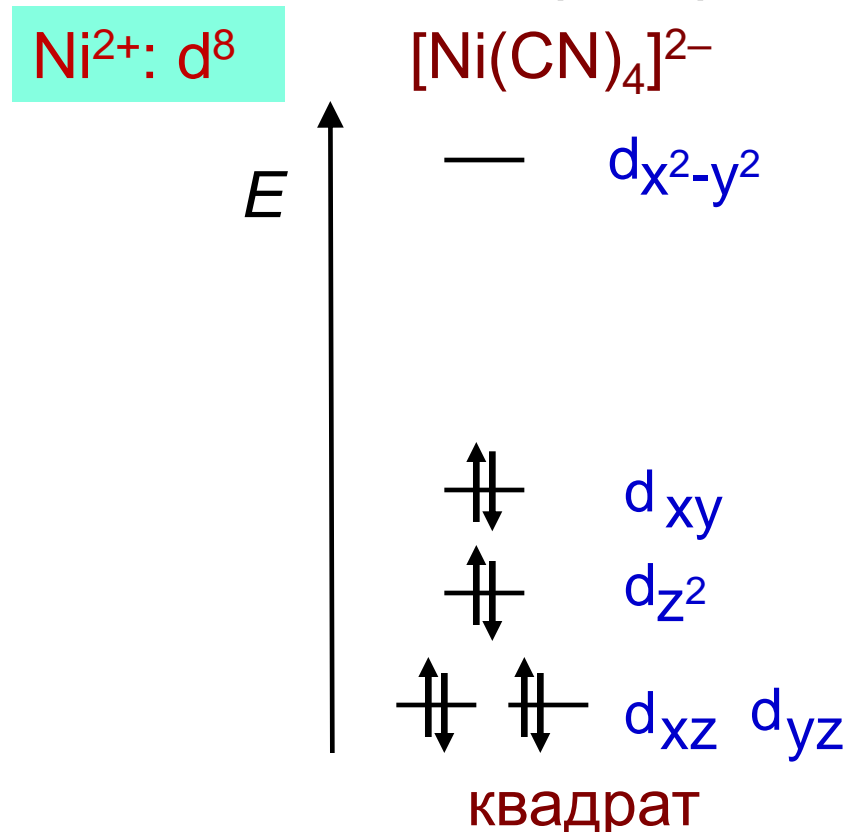
# Тетраэдр и квадрат

Две основные конфигурации для к.ч.=4: тетраэдр и квадрат



тетраэдр

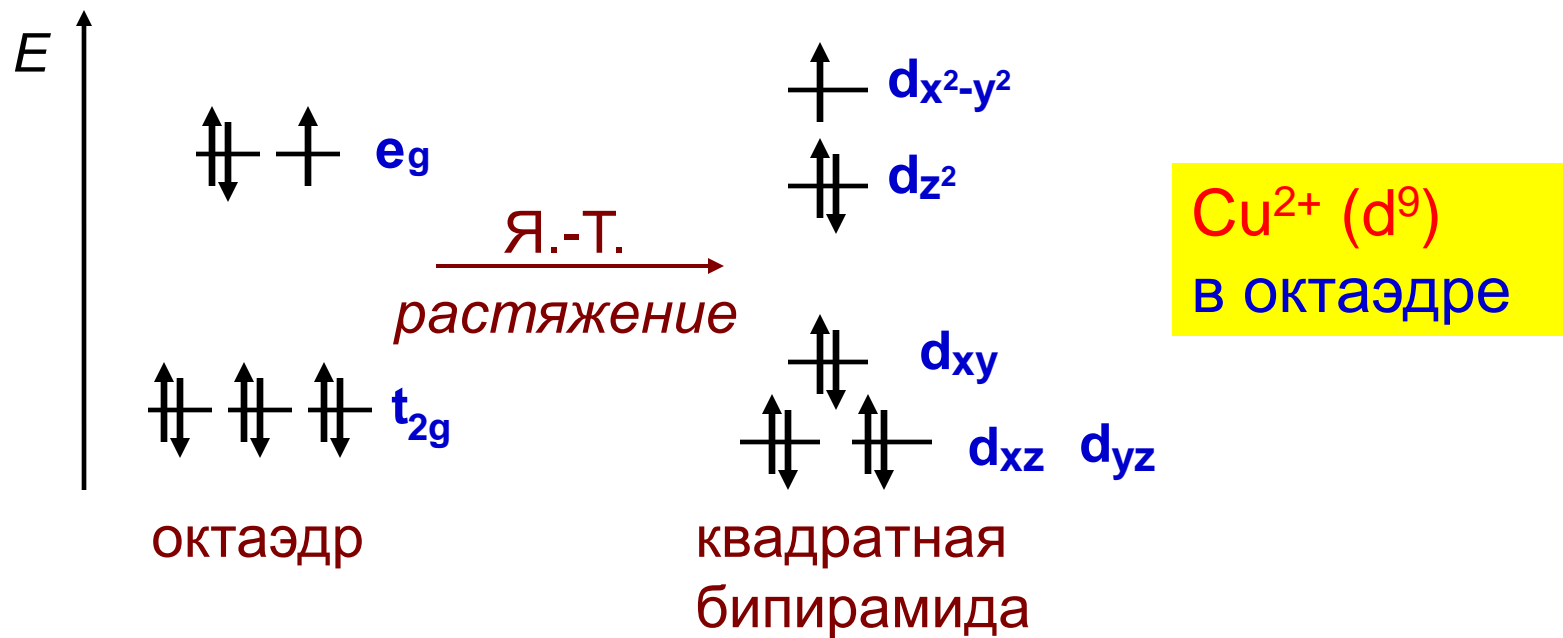
Только с лигандами  
слабого поля,  
высокоспиновый



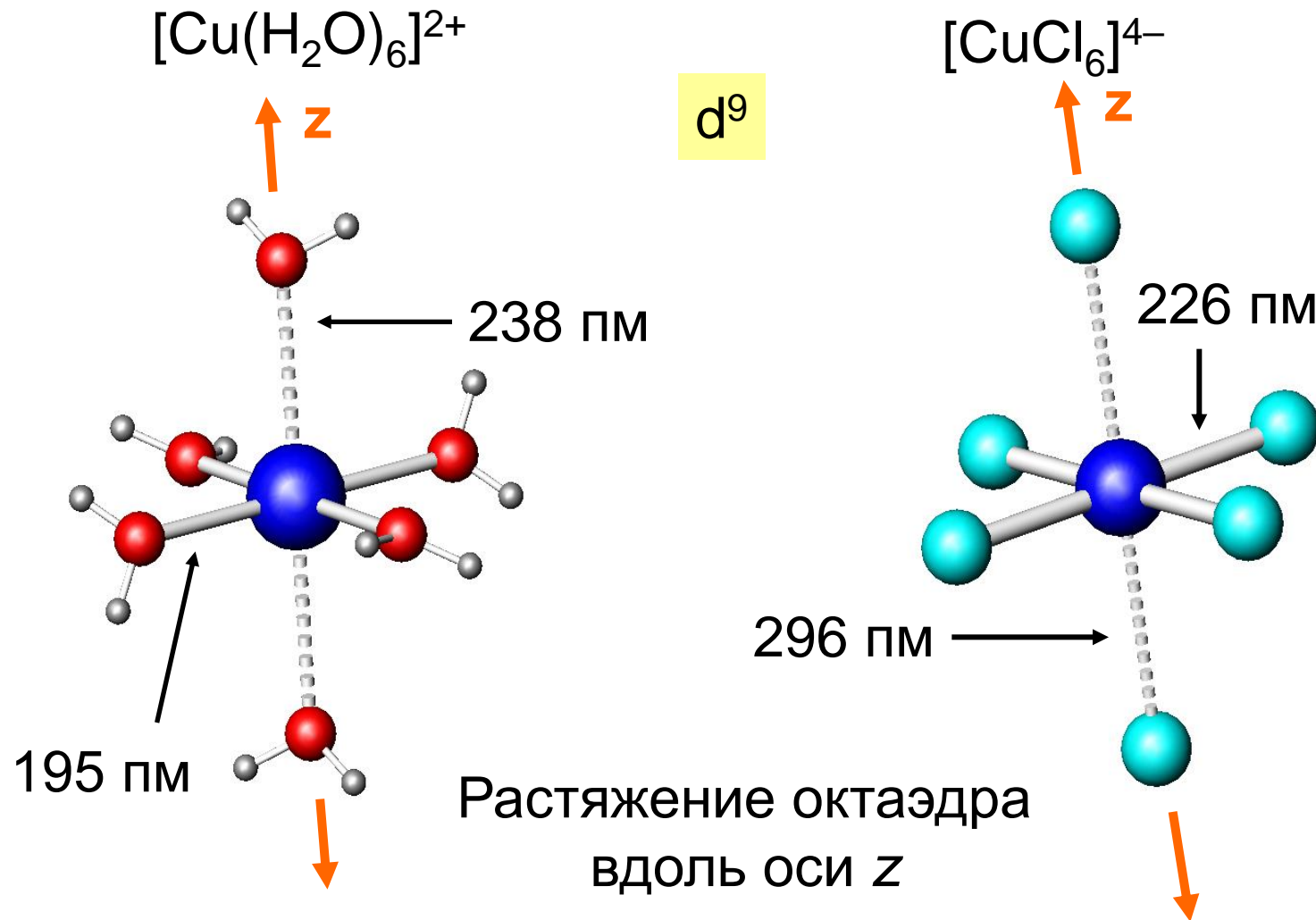
Обычно с лигандами  
сильного поля,  
низкоспиновый

# Эффект Яна-Телпера

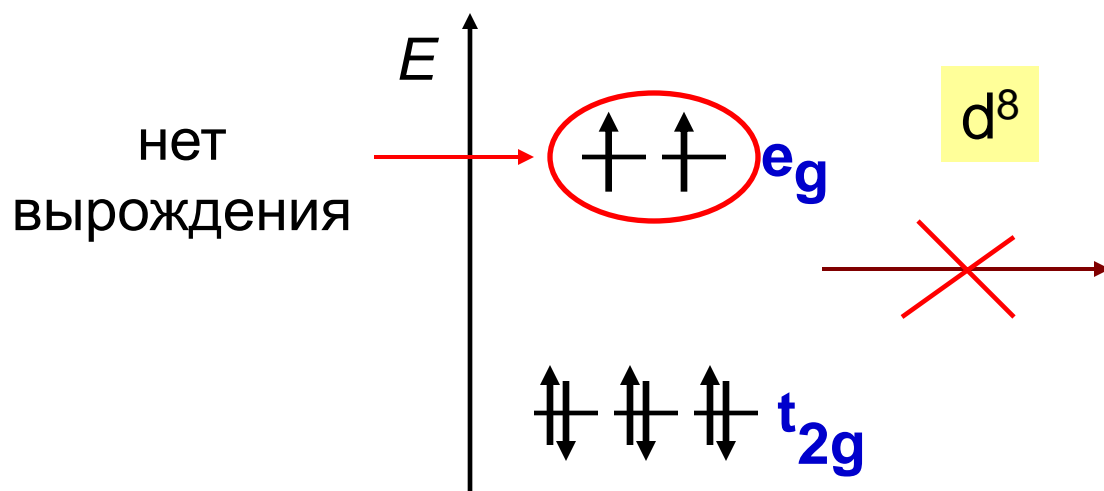
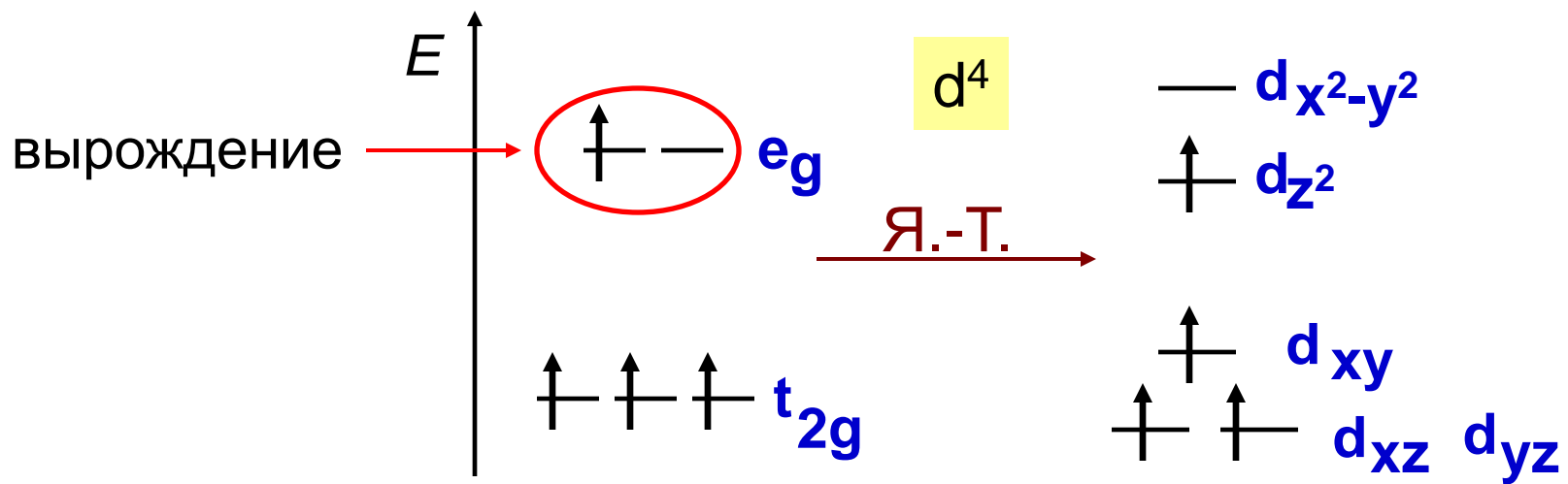
Любая нелинейная молекулярная система в вырожденном электронном состоянии будет искажаться с понижением симметрии, приводящим к снятию вырождения и понижению энергии системы



# Эффект Яна-Теллера

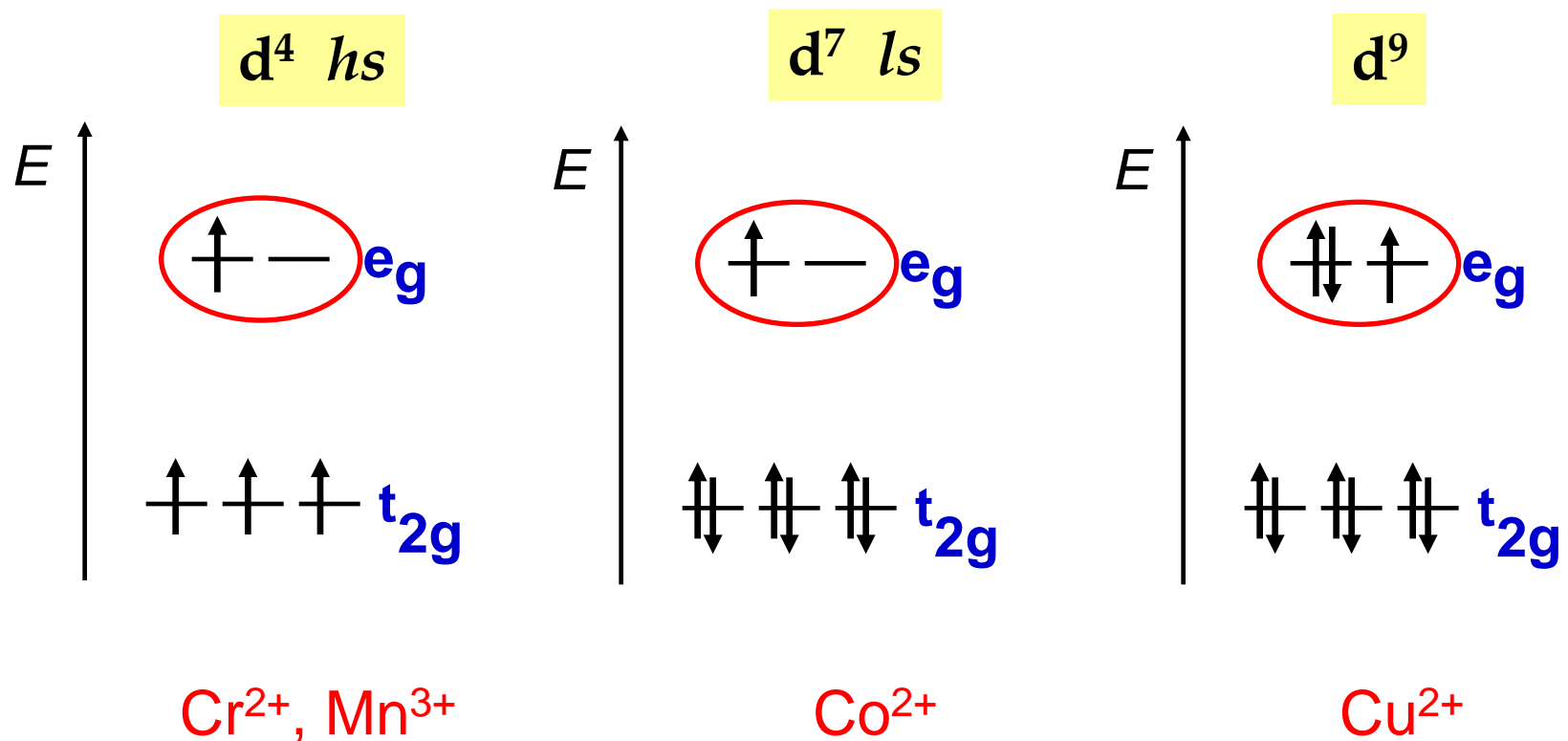


# Эффект Яна-Телпера



# Эффект Яна-Телпера

Эффект Я.-Т. выражен сильно, если вырождение снимается на  $e_g$  уровне октаэдрического комплекса



# Магнитные свойства

$$\mu_{\text{эфф}} = 2 [S(S+1)]^{1/2} = [n(n+2)]^{1/2} \quad (\text{магнетон Бора})$$

S – суммарный спин

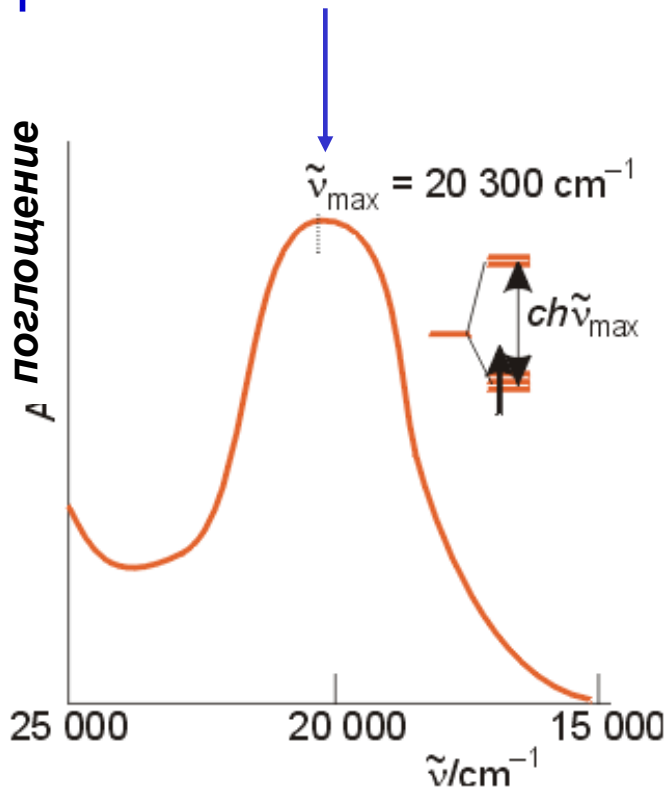
n – число неспаренных электронов



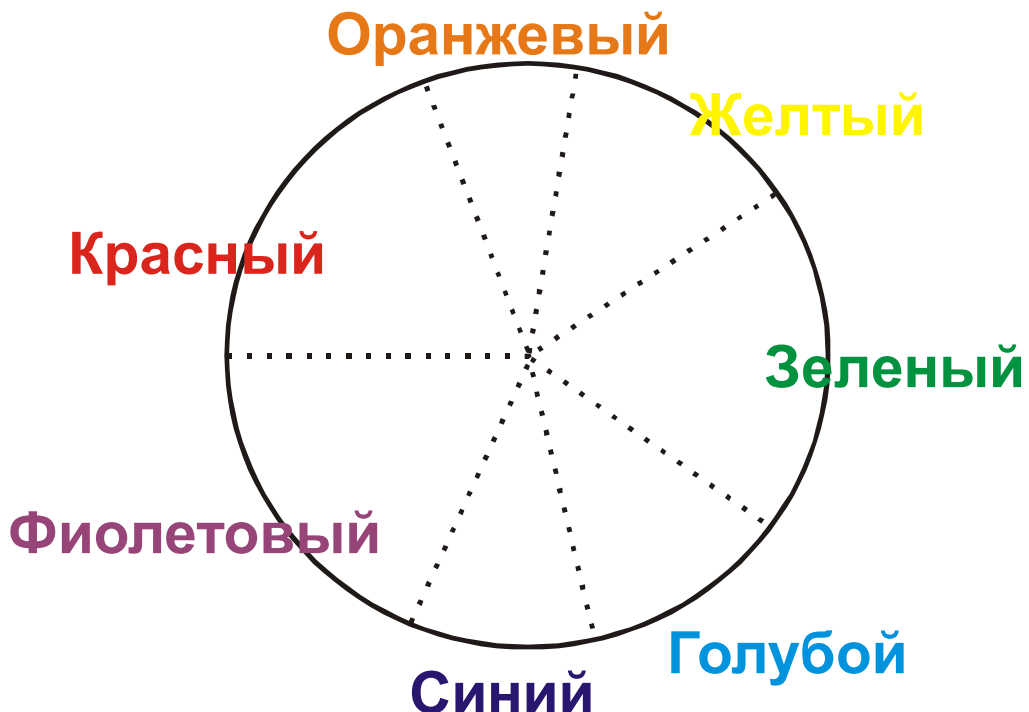
# Окраска комплексов



желтый; дополнительный – фиолетовый

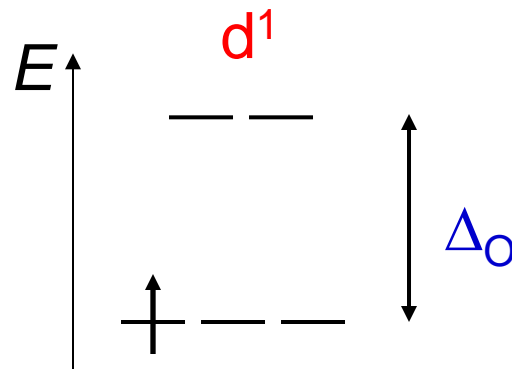


“Колесо Ньютона”



$$E = ch\tilde{\nu}_{\max} N_A \text{ (кДж/моль)}$$

# Окраска комплексов



$\approx 243$  кДж/моль  
для  $Ti^{3+}$  в  
 $[Ti(H_2O)_6]^{3+}$

Зависит от  
природы  
лиганда !

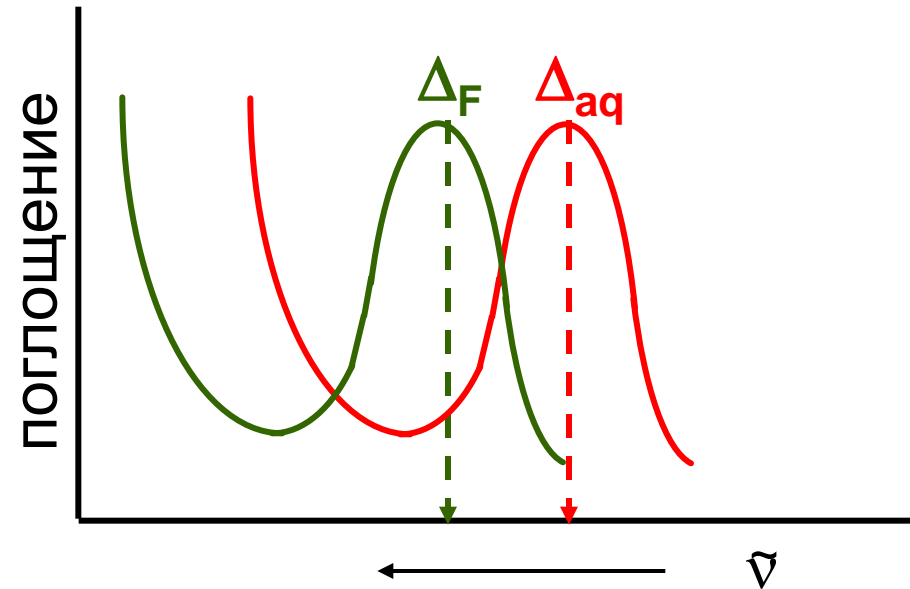
$$\Delta_O = E = h \cdot c \cdot \tilde{\nu} \cdot N_A = 11.96 \text{ кДж/моль}$$

$h$  – постоянная Планка =  $6.626 \cdot 10^{-34}$  Дж/с

$c$  – скорость света =  $2.998 \cdot 10^{10}$  см/с

$N_A$  – число Авогадро =  $6.022 \cdot 10^{23}$  моль $^{-1}$

$\tilde{\nu}$  - волновое число в см $^{-1}$



# Особенности ТКП

Метод ТКП прост и объясняет и предсказывает:

- 1) Геометрическое строение комплексов
- 2) Электронное строение комплексов
- 3) Магнитные свойства комплексов
- 4) Окраску комплексов

ТКП не рассматривает особенности строения лигандов  $\Rightarrow$

Не объясняет и не предсказывает:

- 1) Положение лигандов в спектрохимическом ряду
- 2) Образование  $\pi$ -связи  $M-L$
- 3) Образование простых и кратных связей  $M-M$

# ММО для комплексов

Метод МО:

- 1) Универсален (описывает все свойства комплексов)
- 2) Сложен (требует знание квантовой механики и теории групп)
- 3) Учитывает ковалентное взаимодействие

1-е приближение ММО для комплексов:

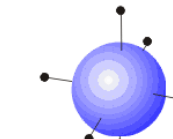
- 1) Принимается во внимание только  $\sigma$ -связь  $M-L$
- 2) Все связи считаются донорно-акцепторными
- 3) Учитываются только валентные орбитали

# Орбитальное взаимодействие

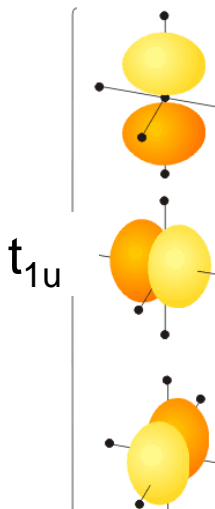
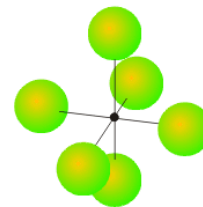
В октаэдрическом комплексе с 6 одинаковыми лигандами

Приближение  
ТОЛЬКО  $\sigma$ -СВЯЗИ

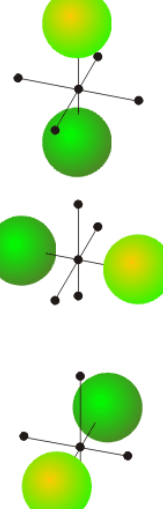
металл    лиганд



$a_{1g}$

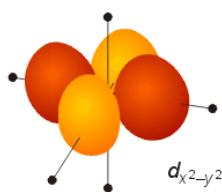
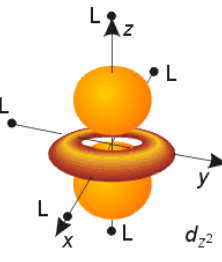


$t_{1u}$

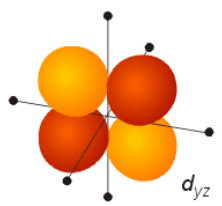


металл

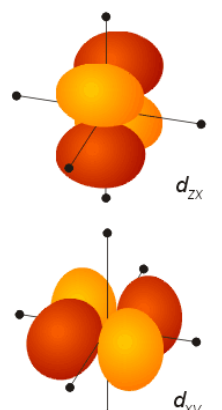
$e_g$



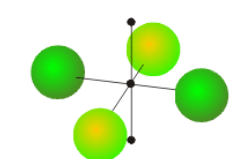
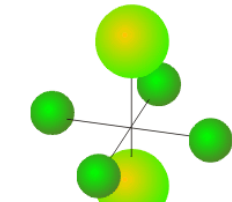
$t_{2g}$



$t_{2g}$



лиганд



# Построение схемы МО в октаэдре

Общие принципы:

1. Центральный атом предоставляет 9 орбиталей –  $5(n-1)d$ ,  $1ns$ ,  $3np$  (по возрастанию энергии);  
для  $3d$  металлов:  $5(3d)+1(4s)+3(4p)$
2. Шесть лигантов предоставляют по одной орбитали  $\sigma$ -симметрии каждый
3. Орбитали лигантов рассматриваются не независимо, а в совокупности (подход групповых орбиталей)
4. Число молекулярных орбиталей равно сумме атомных орбиталей (правило МО-ЛКАО)
5. Взаимодействие орбиталей может быть конструктивным (связывающее), деструктивным (разрыхляющее) и безразличным (несвязывающее).

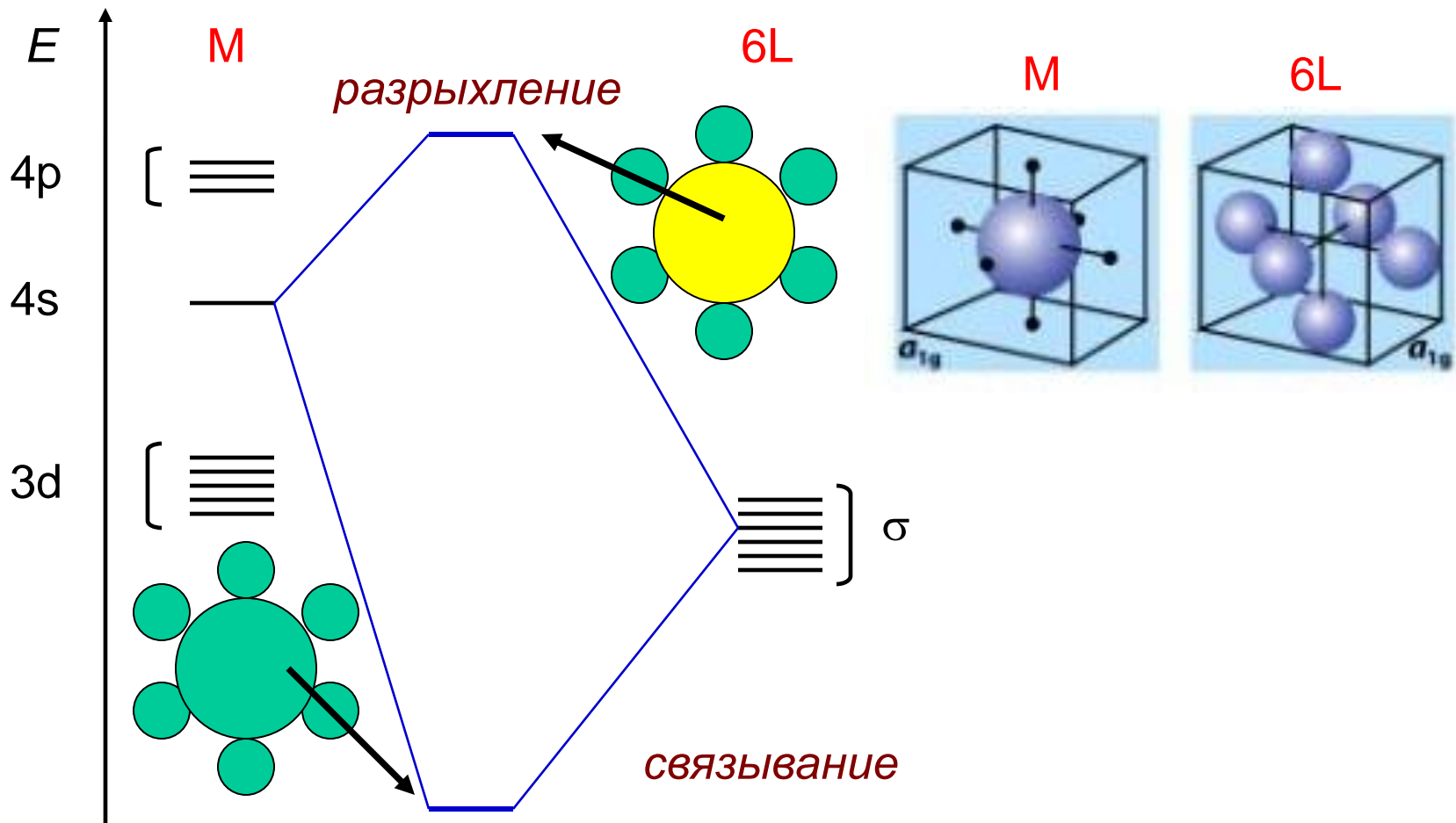
# Построение схемы МО в октаэдре

Шаг 1: относительное расположение орбиталей



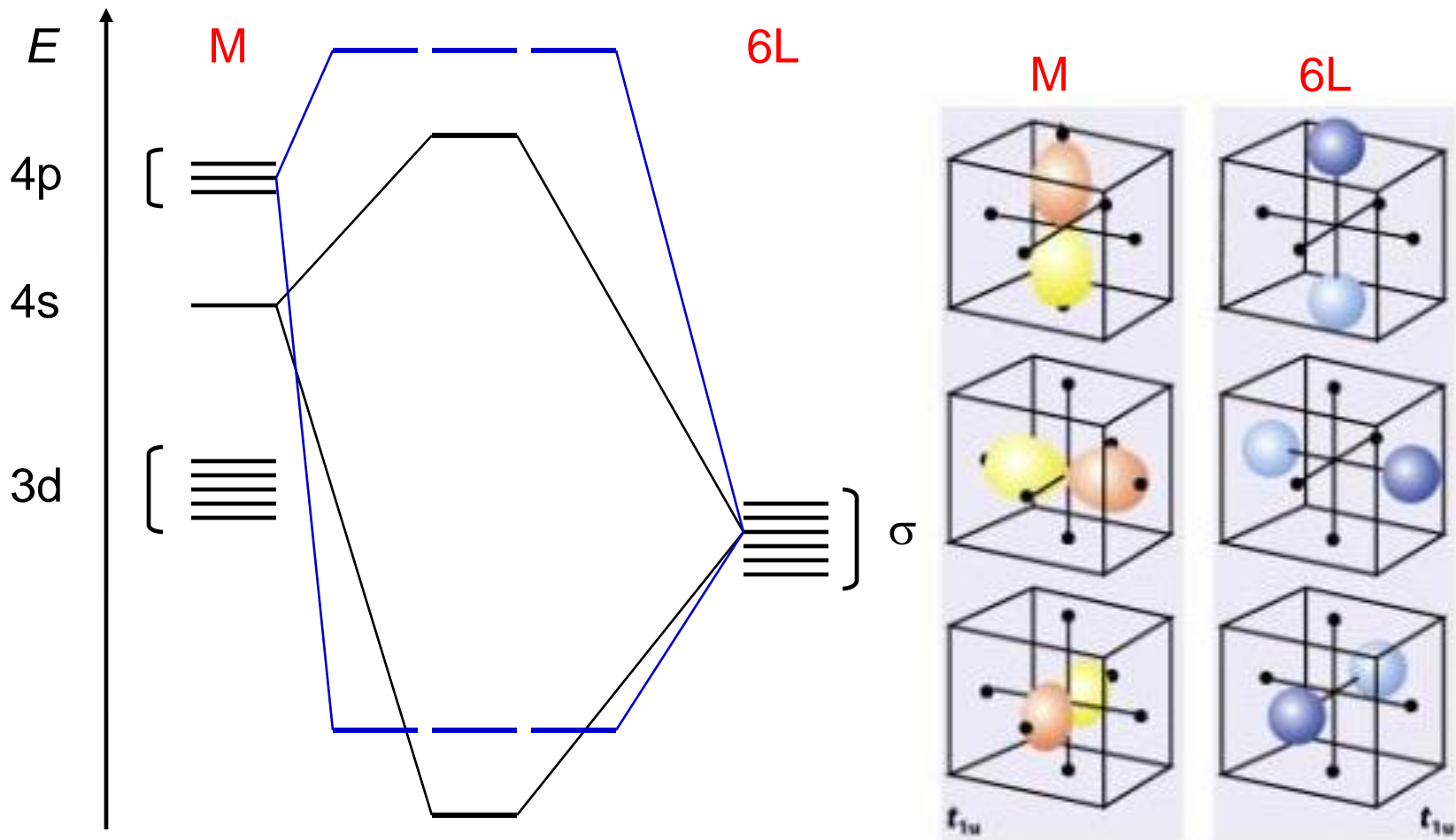
# Построение схемы МО в октаэдре

Шаг 2: взаимодействие s-орбитали ц.а.



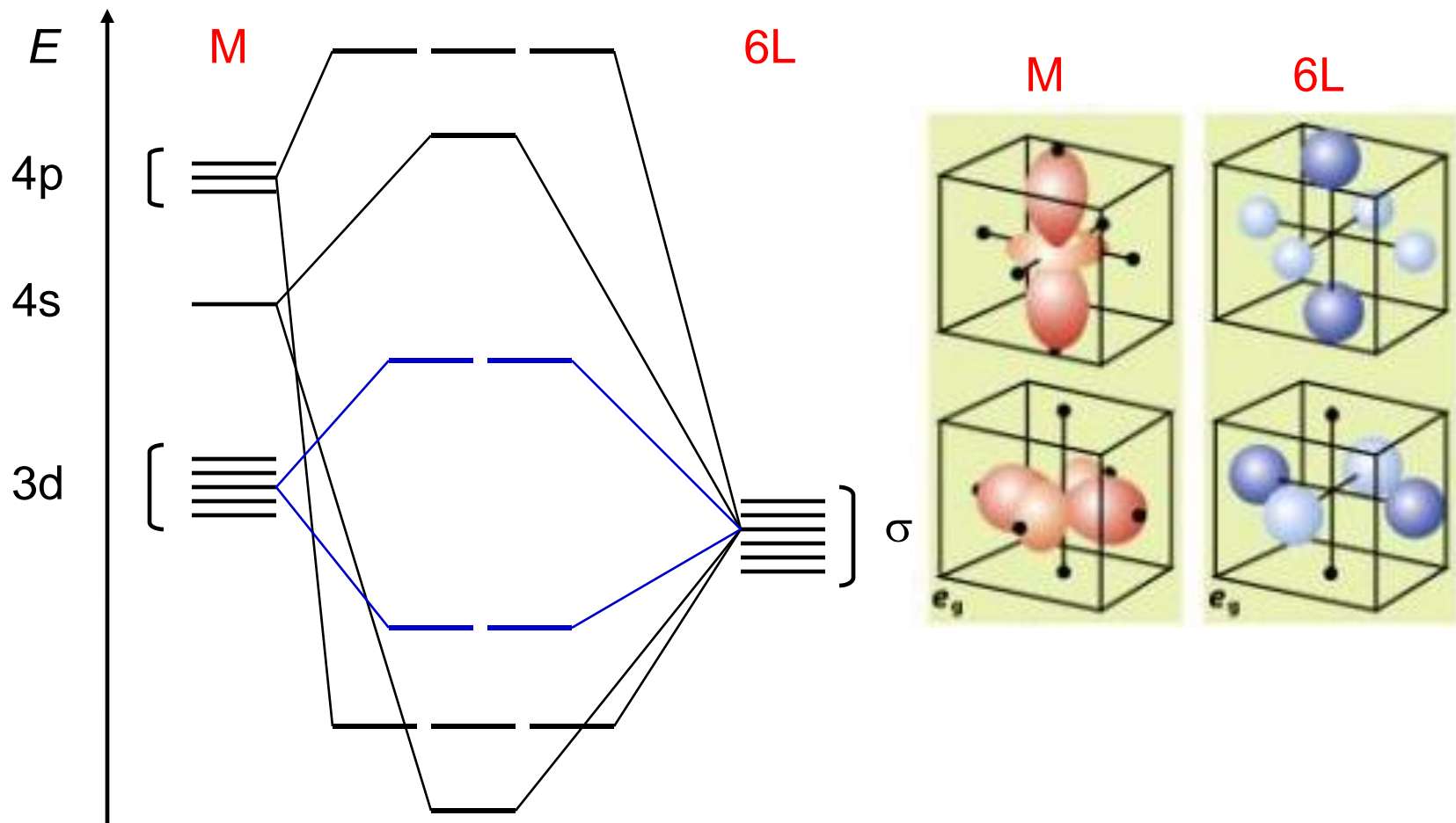
# Построение схемы МО в октаэдре

Шаг 3: взаимодействие р-орбиталей ц.а.



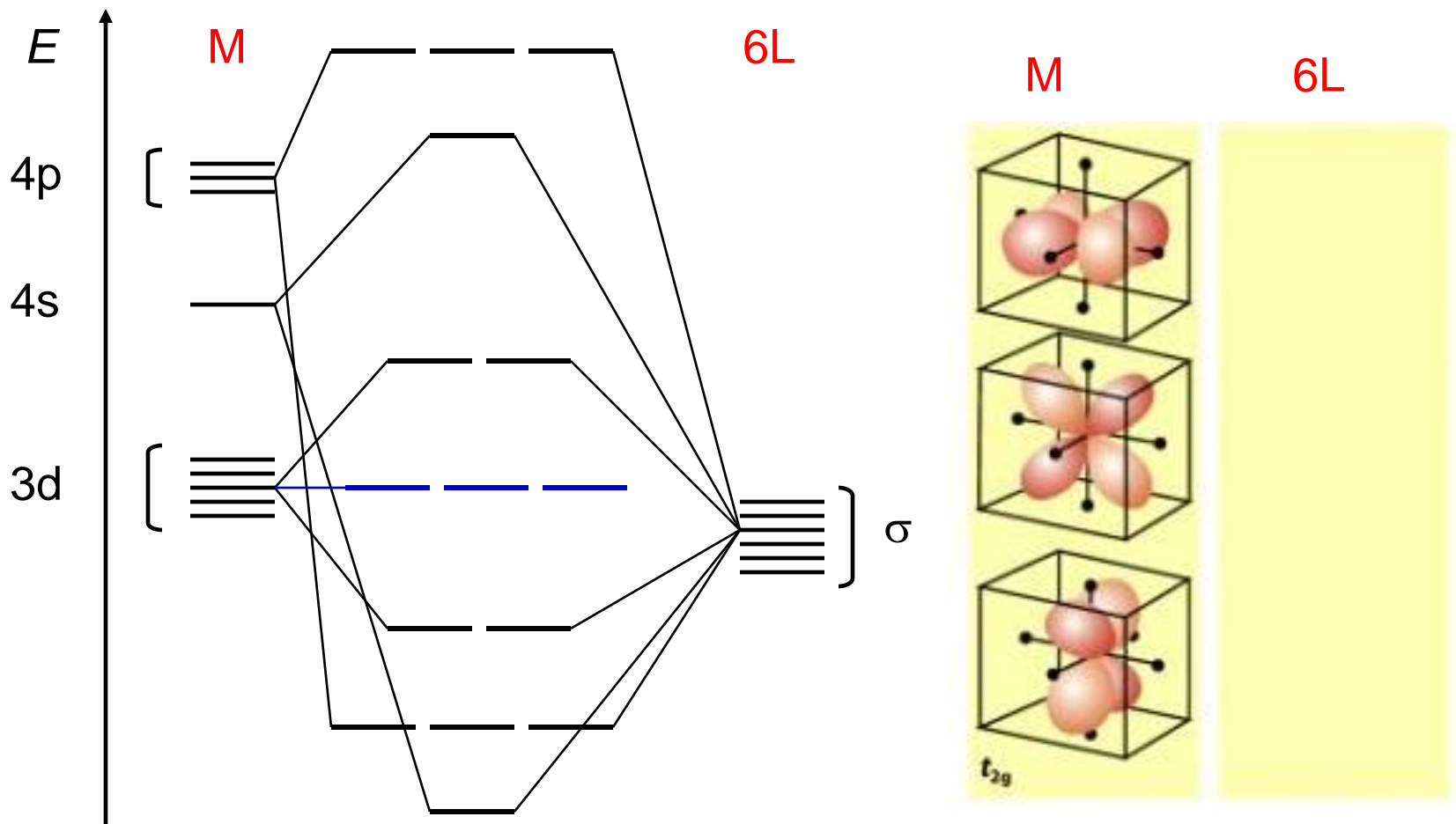
# Построение схемы МО в октаэдре

Шаг 4: взаимодействие  $d_{z^2}$  и  $d_{x^2-y^2}$  орбиталей ц.а.



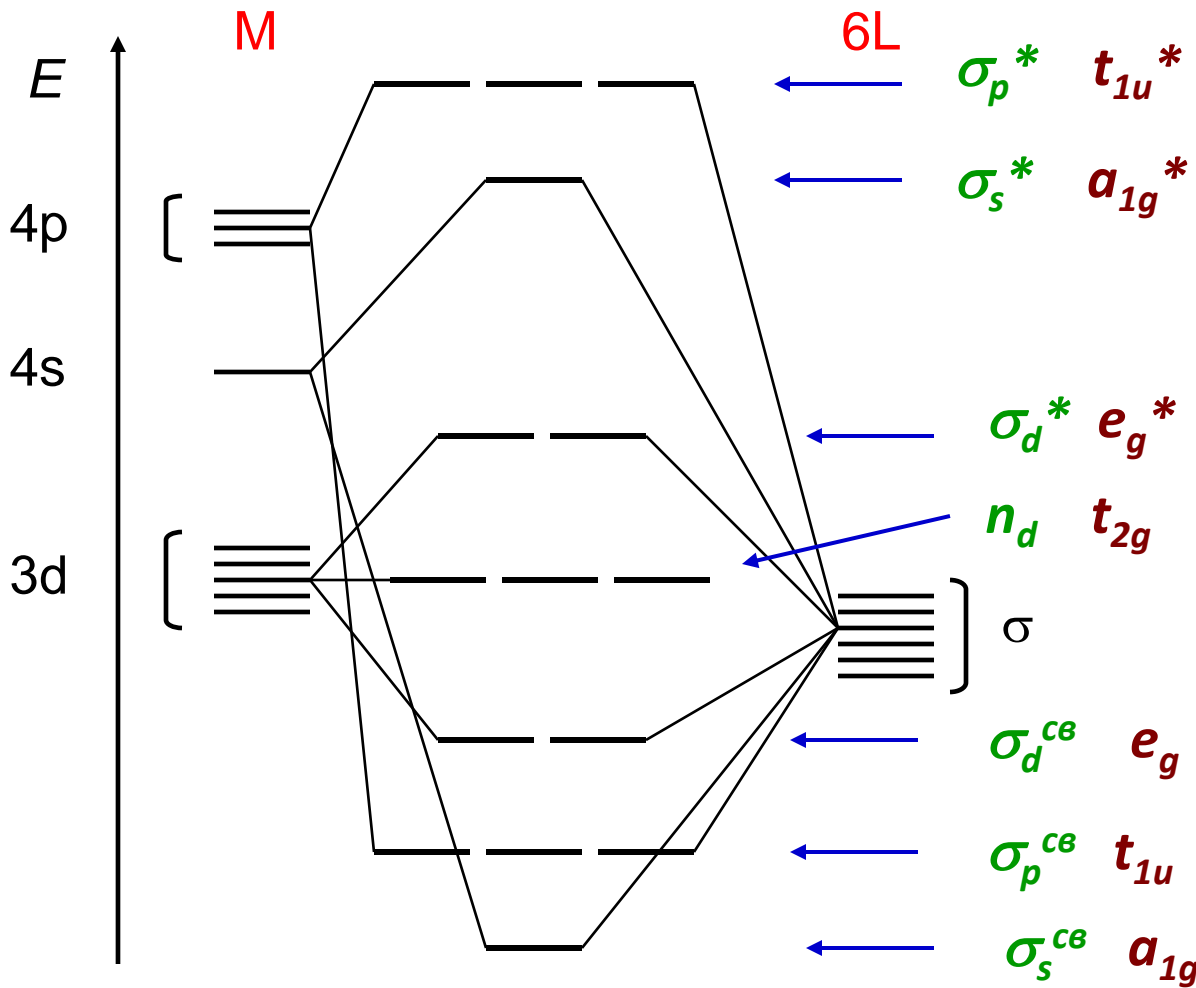
# Построение схемы МО в октаэдре

Шаг 5: взаимодействие  $d_{xy}$ ,  $d_{xz}$ ,  $d_{yz}$  орбиталей ц.а.



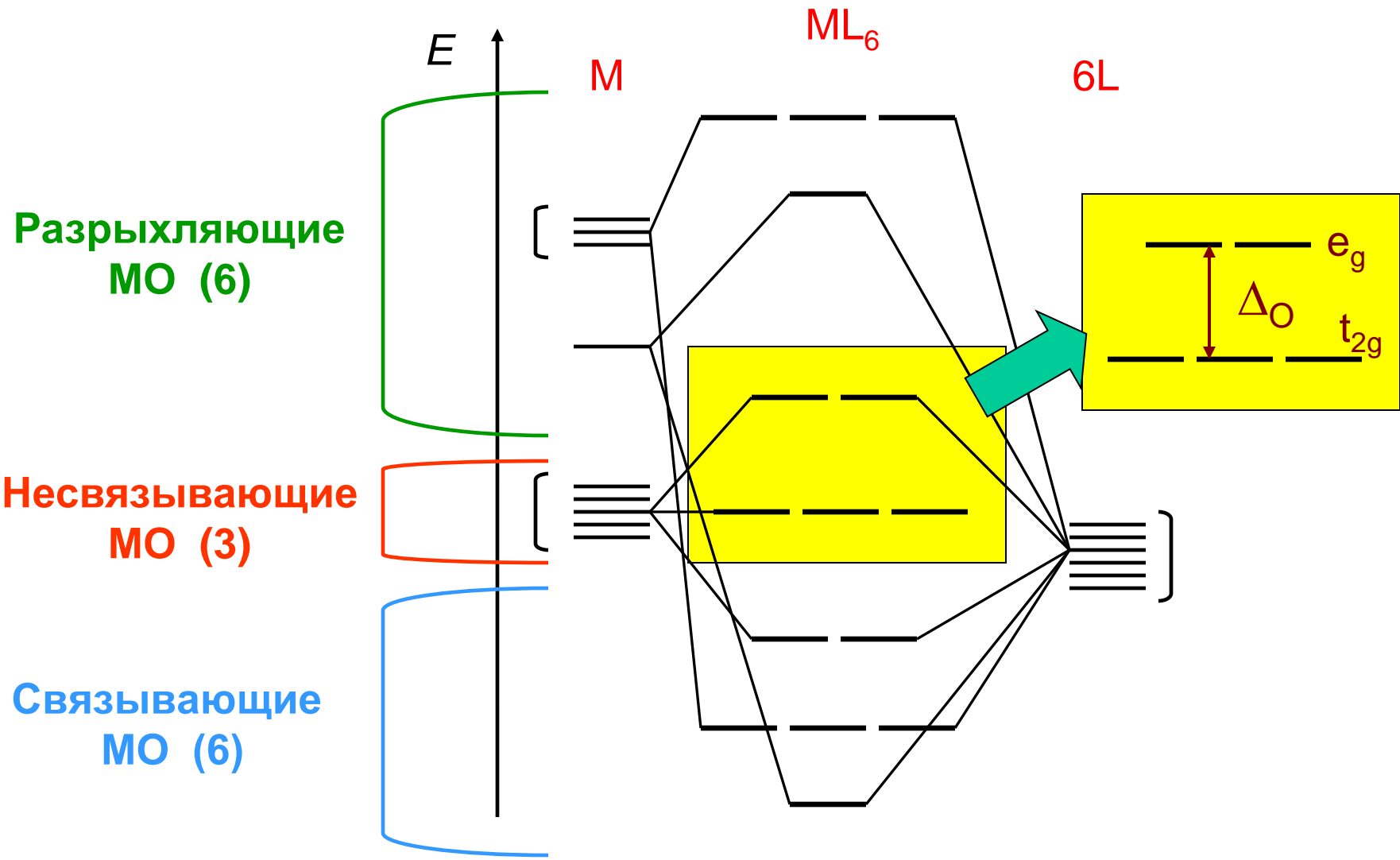
# Построение схемы МО в октаэдре

## Шаг 6: обозначение МО

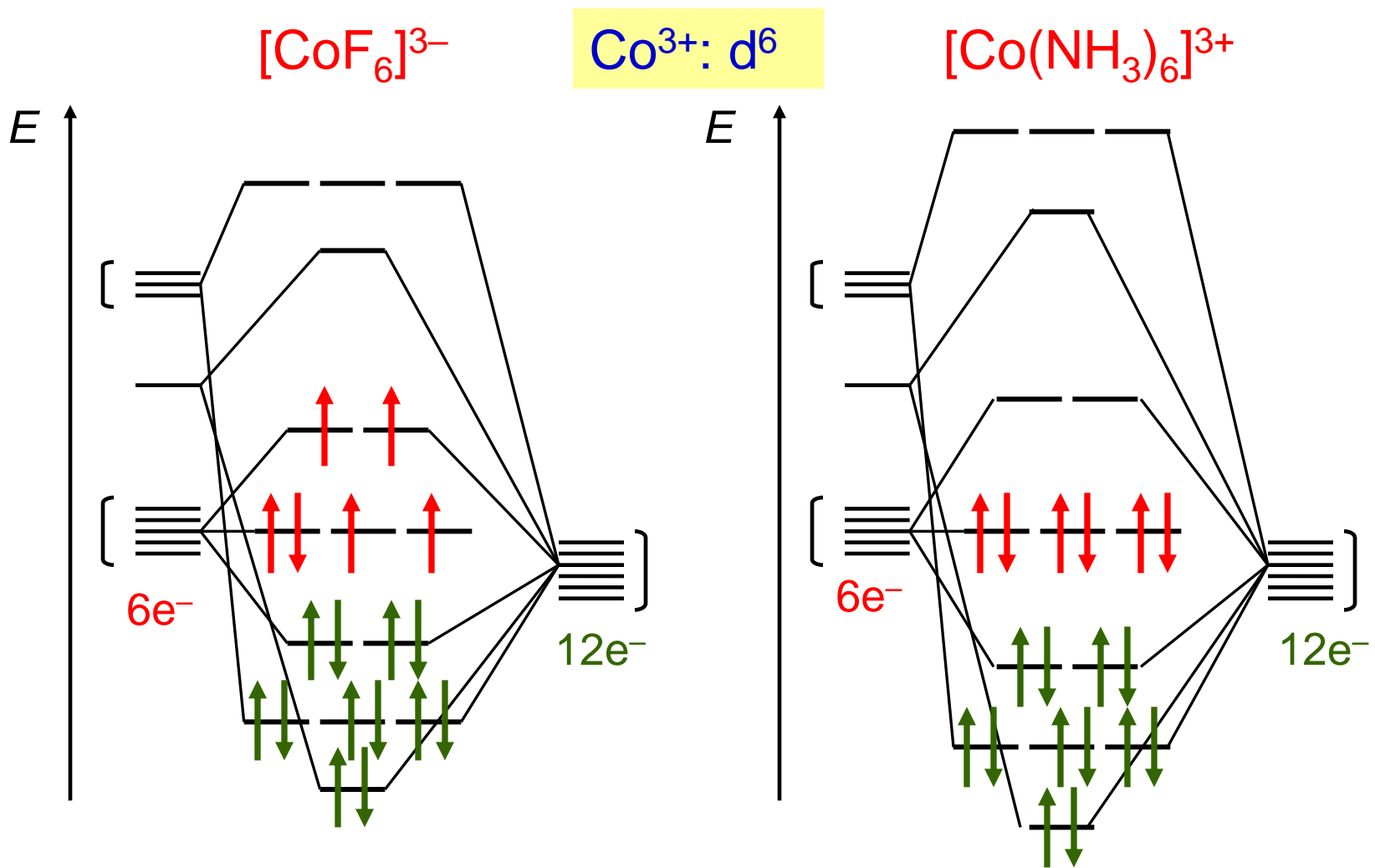


Тип взаимодействия  
Симметрия орбиталей

# Анализ схемы MO



# Электроны в схеме МО



Высокоспиновый,  $(t_{2g})^4(e_g)^2$

Низкоспиновый,  $(t_{2g})^6$

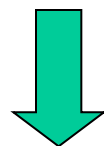
# Влияние природы лигандов

1. В зависимости от природы лигандов меняется энергия их  $\sigma$ -орбиталей
2. Различается степень перекрывания орбиталей
3. Принимается во внимание  $\pi$ -взаимодействие

Увеличение электроотрицательности лиганда – уменьшение орбитальной энергии

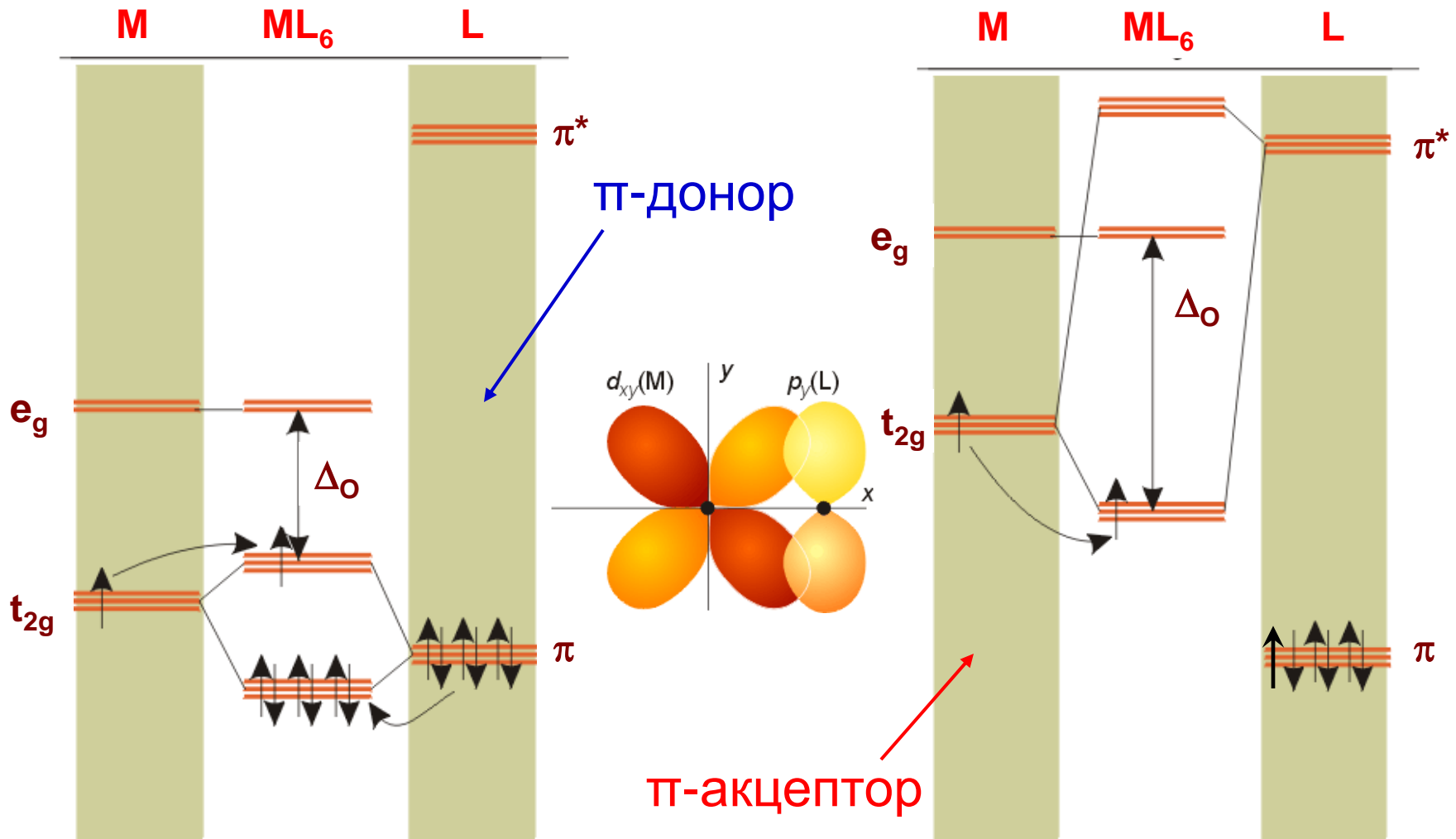


Увеличение ковалентного взаимодействия – увеличение перекрывания орбиталей

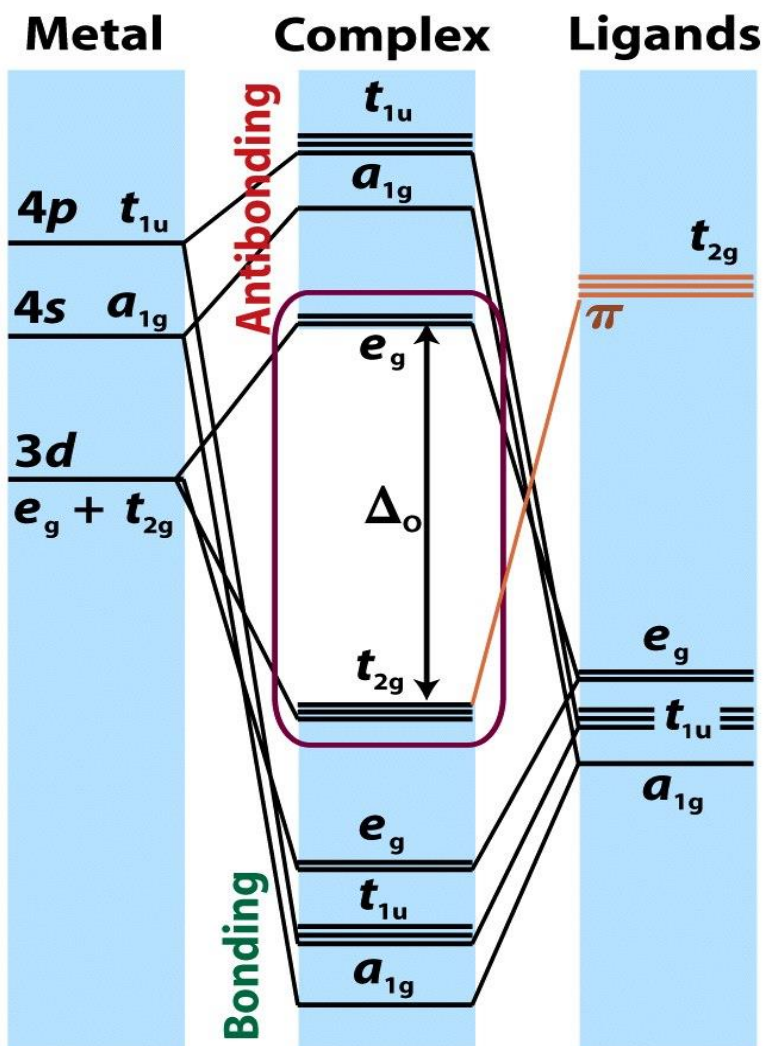


2е приближение МО: учет  $\pi$ -перекрывания M—L

# Влияние π-лигандов



# МО в октаэдре с учетом π-связи



сильный  $\pi$ -донор  
 $\text{I}^-$ ,  $\text{Br}^-$ ,  $\text{SCN}^-$ ,  $\text{HS}^-$

слабый  $\pi$ -донор  
 $\text{OH}^-$ ,  $\text{H}_2\text{O}$ ,  $\text{F}^-$

без  $\pi$ -связи  
 $\text{NH}_3$ ,  $\text{en}$

$\Delta_o \downarrow$

$\pi$ -акцептор  
 $\text{CO}$ ,  $\text{CN}^-$ ,  $\text{NO}_2^-$ ,  $\text{PF}_3$

Figure 21-1

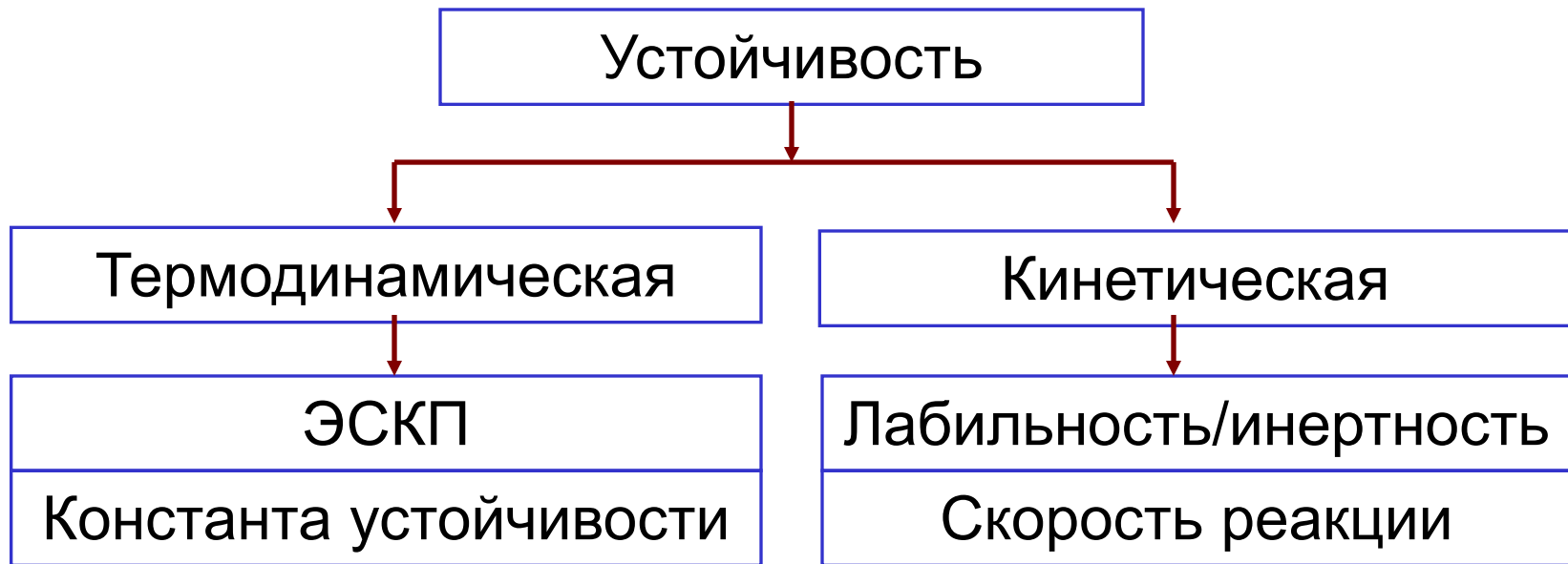
Shriver & Atkins Inorganic Chemistry, Fourth Edition

© 2006 by D. F. Shriver, P. W. Atkins, T. L. Overton, J. P. Rourke, M. T. Weller, and F. A. Armstrong

# Образование и устойчивость

- Какие комплексы легко образуются?
- Почему комплексы одинакового состава и структуры имеют различную стабильность?
- Какие комплексы термодинамически устойчивы?
- Какие факторы определяют термодинамическую устойчивость комплексов?
- Чем отличается термодинамическая устойчивость от кинетической?
- Как выражают термодинамическую и кинетическую устойчивость?

# Устойчивость комплексов



1. Чем больше ЭСКП, тем выше термодинамическая устойчивость комплекса
2. Наиболее термодинамически прочные комплексы образуются с лигандами с  $\pi$ -вкладом в связь M—L

# Теория Пирсона

## Жесткие и Мягкие Кислоты и Основания (ЖМКО)

По Льюису: катионы – кислоты, лиганды – основания

Для катионов класса «а»



Для катионов класса «б»



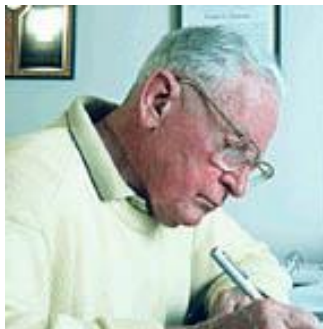
Катионы класса «а»  
называются жесткими  
  
Преимущественно  
ионное взаимодействие

Катионы класса «б»  
называются мягкими  
  
Преимущественно  
ковалентное  
взаимодействие

# Теория Пирсона

## Жесткие катионы

1.  $s^0, s^2p^6$  катионы
2. f-катионы
3. высокозарядные d-катионы
4. малые  $s^2$  катионы

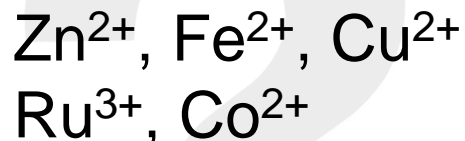
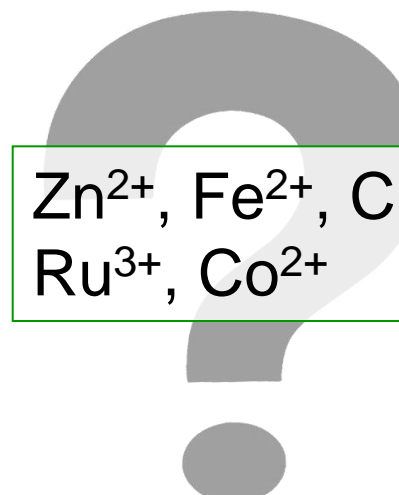


## Примеры (d):

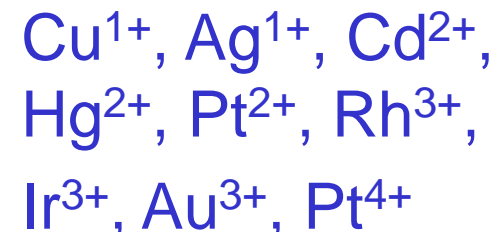


## Мягкие катионы

1. низкозарядные d-катионы
2. большие  $s^2$  катионы

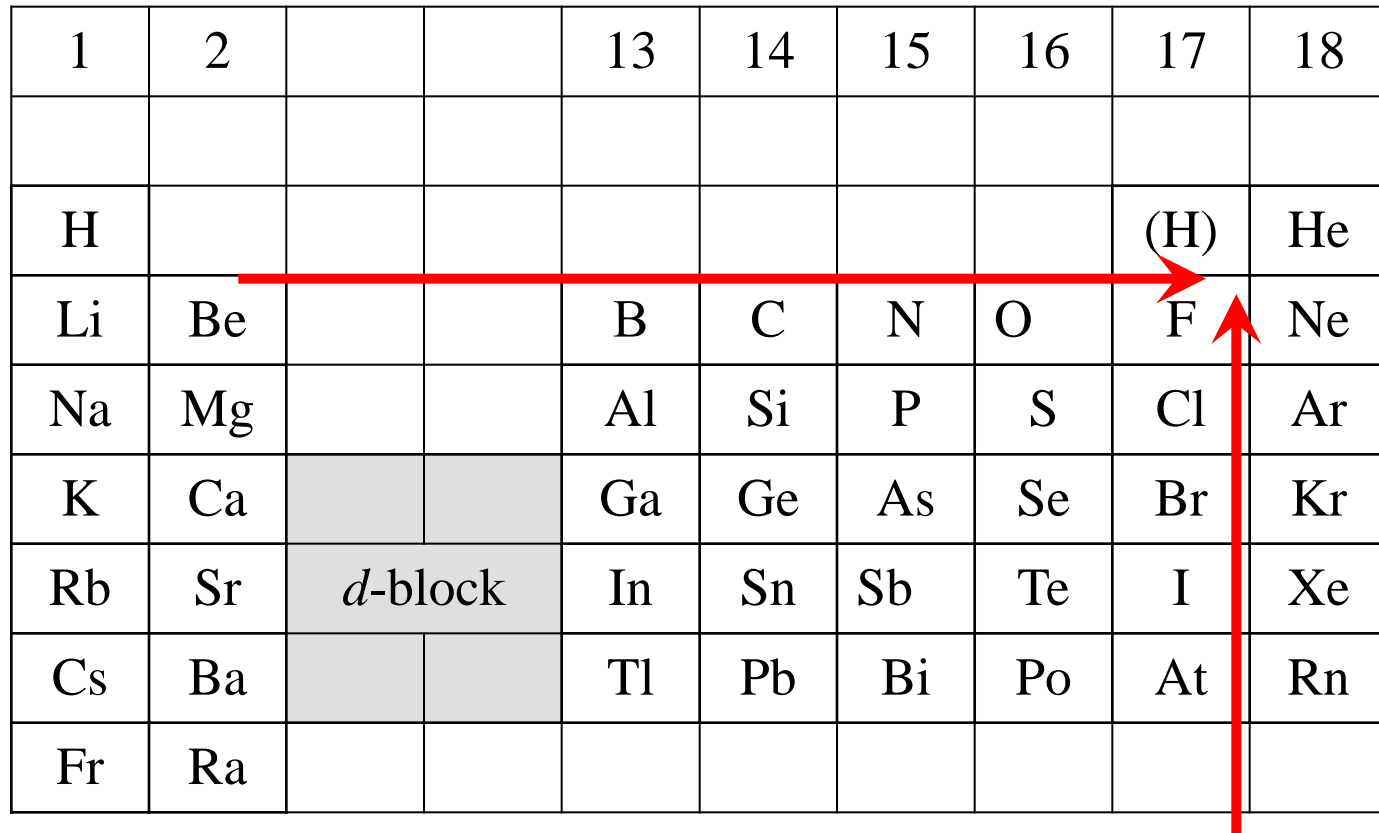


## Примеры (d):



# Теория Пирсона

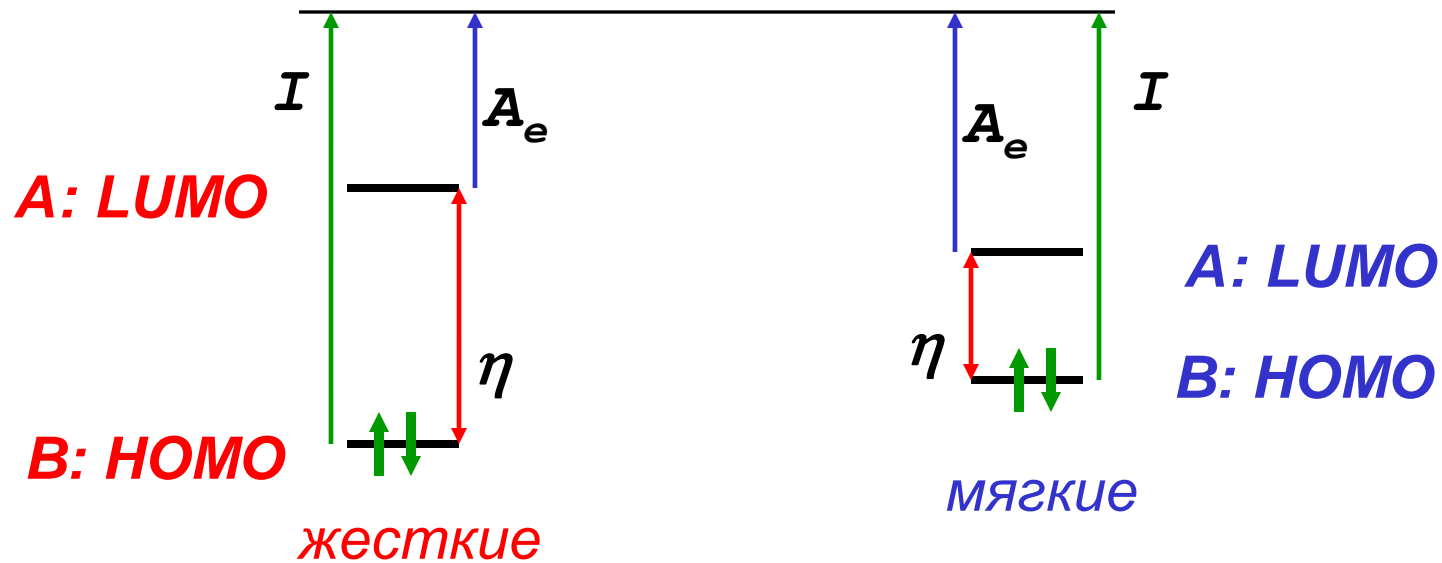
1	2			13	14	15	16	17	18
H								(H)	He
Li	Be			B	C	N	O	F	Ne
Na	Mg			Al	Si	P	S	Cl	Ar
K	Ca			Ga	Ge	As	Se	Br	Kr
Rb	Sr	d-block		In	Sn	Sb	Te	I	Xe
Cs	Ba			Tl	Pb	Bi	Po	At	Rn
Fr	Ra								



A red arrow points from the element F in the second column to the element Ne in the third column, indicating a trend across a period.

Жесткость анионов увеличивается с уменьшением радиуса и увеличением электроотрицательности

# Теория Пирсона

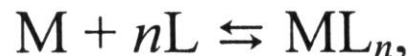


$I$  – потенциал ионизации

$A_e$  – сродство к электрону

$\eta$  – относительная жесткость

# Константа устойчивости



$$\beta_n = \frac{a_{ML_n}}{a_M a_L^n},$$



$K_i$  – константа устойчивости по  $i$ -ой ступени

$\beta$  - общая константа устойчивости комплекса

$$K_1 = \frac{a_{ML}}{a_M a_L}; \quad K_2 = \frac{a_{ML_2}}{a_{ML} a_L}; \dots \dots \quad K_n = \frac{a_{ML_n}}{a_{ML_{n-1}} a_L}, \quad \beta_n = K_1 K_2 \dots K_n$$

# Константа устойчивости



Связь с ЭСКП следует из:

$$\Delta G^0 = \Delta H^0 - T\Delta S^0 = -RT \ln (\beta_n),$$

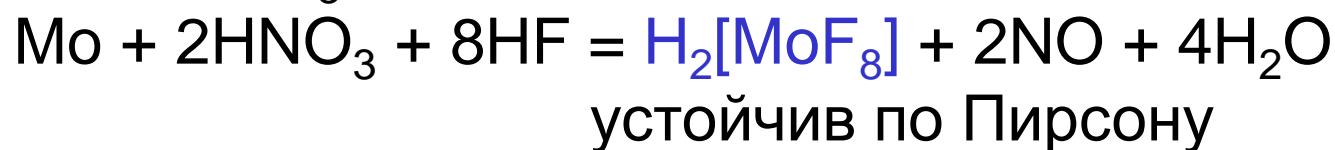
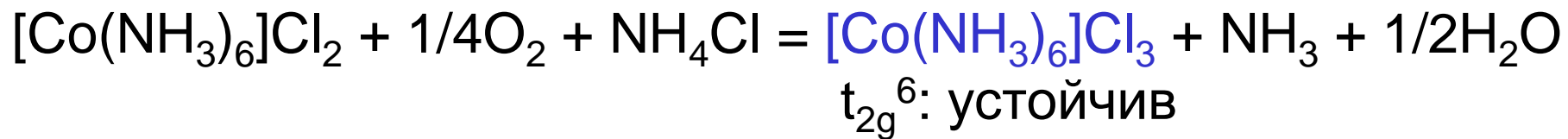
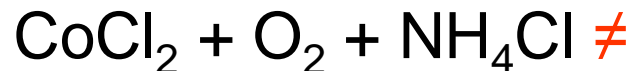
# Red/Ox реакции КС

Электродный потенциал Red/Ox реакции зависит от природы и числа лигандов в комплексе



# Red/Ox реакции КС

Протекание red/ox реакций может обеспечиваться комплексообразованием



# Кинетическая устойчивость

Лабильность и инертность –  
параметры кинетической стабильности

Если время жизни комплекса в 0.1 М растворе при 298 К  
больше 1 мин, то он **инертный**, если меньше 1 мин, то  
он **лабильный**

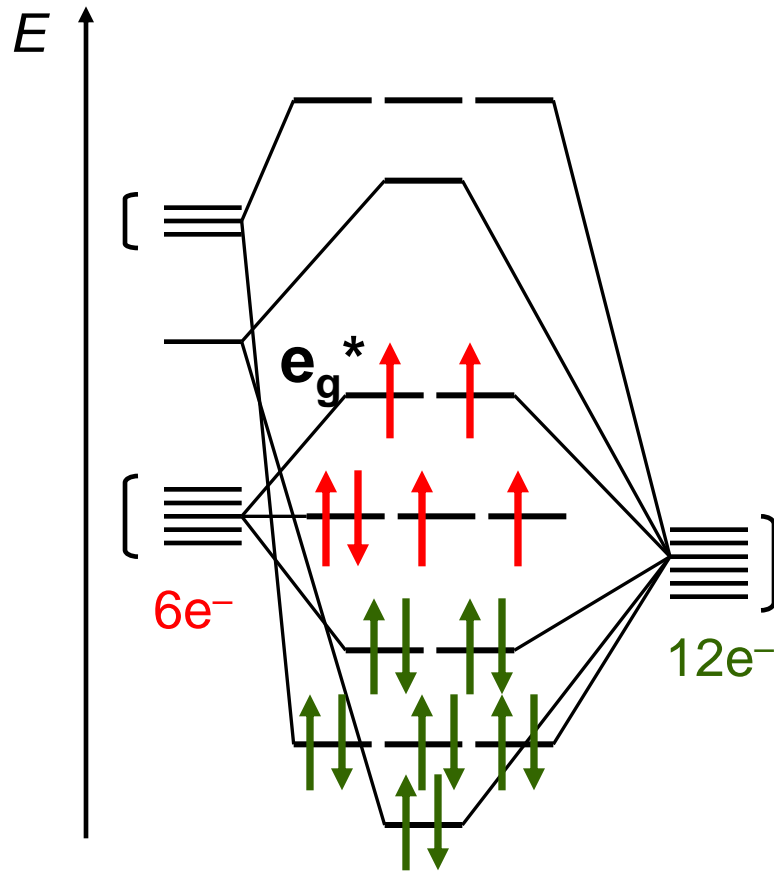
$[\text{Fe}(\text{CN})_6]^{4-}$     $\lg\beta_6 = 35.00$   
термодинамически устойчив, **инертен**

$[\text{Fe}(\text{CN})_6]^{3-}$     $\lg\beta_6 = 42.00$   
термодинамически устойчив, **лабилен**

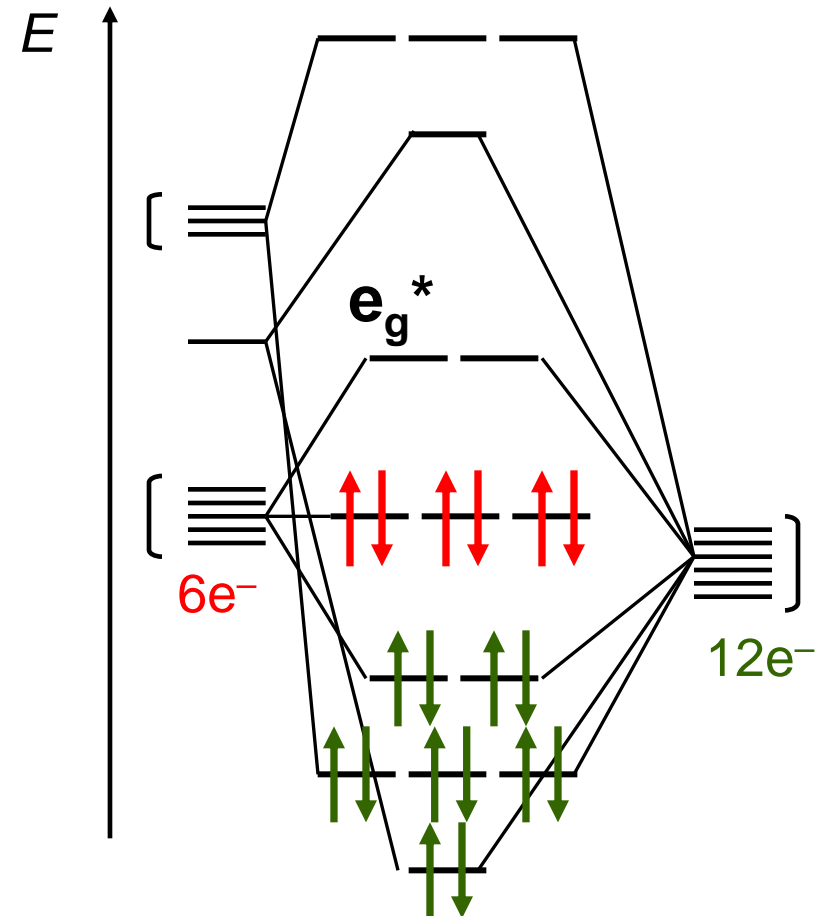
# Кинетическая устойчивость

1. Комплексы с электронами на разрыхляющих орбиталях **лабильны**
2. Среди октаэдрических комплексов 3d металлов **инертны** только  $t_{2g}^6$  и  $t_{2g}^3$  комплексы
3. Комплексы 4d и 5d металлов, не имеющие электронов на разрыхляющих орбиталях, всегда **инертны**
4. Все тетраэдрические комплексы **лабильны**, квадратные – **инертны**
5. Чем меньше ЭСКП, тем меньше время жизни **лабильных** комплексов

# Кинетическая устойчивость



лабильный

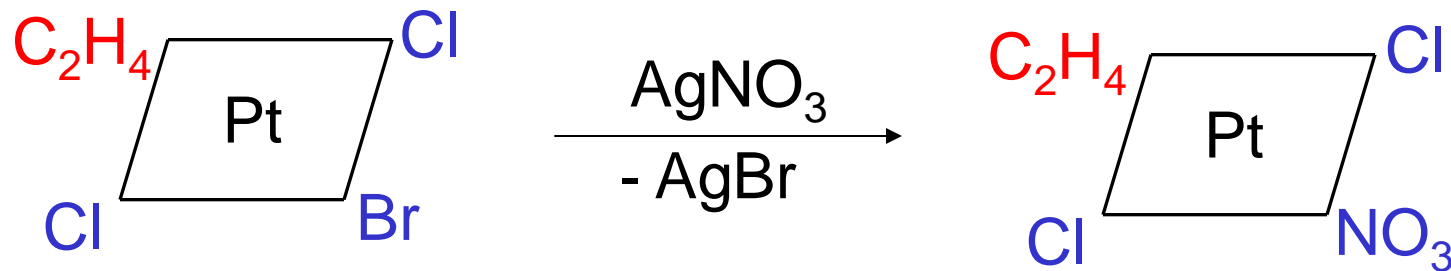


инертный

# Транс-эффект

Транс-эффект: влияние лиганда на скорость замещения лиганда, находящегося в *транс*-положении

Ряд лабилизирующего влияния лигандов



Замещение только в *транс*-положении к  $\text{C}_2\text{H}_4$  !

# Транс-эффект

Пример использования транс-эффекта

